

TUGAS AKHIR

NOMOR : 1477/WM/F.TS/SKR/2022

**PENGARUH TATA LETAK *SHEAR WALL*
TERHADAP RESPON STRUKTUR BANGUNAN
BERTINGKAT DENGAN TIPE KETIDAKBERATURAN
SUDUT DALAM (*L SHAPE*) MENGGUNAKAN
METODE ANALISIS RIWAYAT WAKTU (*TIME
HISTORY ANALYSIS*)**



DISUSUN OLEH :

VALERIANUS EURICO BANDU

NOMOR REGISTRASI :

211 17 081

**PROGRAM STUDI TEKNIK SIPIL – FAKULTAS
TEKNIK
UNIVERSITAS KATOLIK WIDYA MANDIRA
KUPANG
2022**

LEMBARAN PENGESAHAN

TUGAS AKHIR

NOMOR : 1477/WM/F.TS/SKR/2022

PENGARUH TATA LETAK SHEAR WALL TERHADAP RESPON
STRUKTUR BANGUNAN BERTINGKAT DENGAN TIPE
KETIDAKBERATURAN SUDUT DALAM (L SHAPE)
MENGUNAKAN METODE ANALISIS RIWAYAT WAKTU
(TIME HISTORY ANALYSIS)

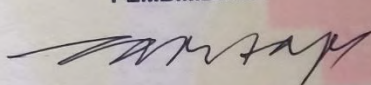
DISUSUN OLEH:

VALERIANUS EURICO BANDU

NOMOR REGISTRASI:
211 17 081

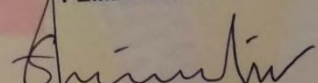
DIPERIKSA OLEH:

PEMBIMBING I



Ir. RANI HENDRIKUS, M.S
NIDN: 08 0805 5801

PEMBIMBING II



STEPHANUS OLA DEMON, ST., MT
NIDN: 08 0909 7401

DISETUJUI OLEH:

KETUA PROGRAM STUDI TEKNIK SIPIL - FAKULTAS TEKNIK
UNIVERSITAS KATOLIK WIDYA MANDIRA KUPANG



Dr. DON GASPAR N. DA COSTA, ST., MT
NIDN: 08 2003 6801

DISAHKAN OLEH:

DEKAN FAKULTAS TEKNIK
UNIVERSITAS KATOLIK WIDYA MANDIRA KUPANG



PATRISIUS BATARIUS, ST., MT
NIDN: 08 1503 7801

LEMBARAN PERSETUJUAN

TUGAS AKHIR

NOMOR : 1477/WM/F.TS/SKR/2022

PENGARUH TATA LETAK SHEAR WALL TERHADAP RESPON
STRUKTUR BANGUNAN BERTINGKAT DENGAN TIPE
KETIDAKBERATURAN SUDUT DALAM (*L SHAPE*)
MENGGUNAKAN METODE ANALISIS RIWAYAT WAKTU
(*TIME HISTORY ANALYSIS*)

DISUSUN OLEH:
VALERIANUS EURICO BANDU

NOMOR REGISTRASI:
211 17 081

DIPERIKSA OLEH:

PENGUJI I

CHRISTIANI C. MANUBULU, ST., M.Eng
NIDN: 08 1906 9102

PENGUJI II

Ir. EGIDIUS KALOGO, MT
NIDN: 08 0109 6303

PENGUJI III

Ir. RANI HENDRIKUS, M.S
NIDN: 08 0805 5801

MOTTO

**KENYATAAN BAHWA USAHA YANG KITA LAKUKAKAN
TIDAK AKAN MENJAMIN KESUKSESAN DI AKHIR
PERJUANGAN ADALAH SUATU KEMUNGKINAN. HAL
YANG PASTI TERJADI BILA KITA ENGAN MULAI
BERUSAHA MENGHADAPI SETIAP MASALAH ADALAH
KITA TIDAK AKAN SAMPAI PADA APA YANG KITA
INGINKAN. MULAILAH BERUSAHA MELANGKAH
DALAM SETIAP WAKTU YANG SEMPAT KITA LALUI
DAN BIARKAN TUHAN MELAKUKAN KARYANYA
SESUAI DENGAN PORSINYA**

“EB 55 PH”

PERSEMPAHAN

**UNTUK SEMUA CINTA DAN KASIH SETULUS HATI,
KARYA KECIL INI DIDEDIKASIKAN BAGI KEDUA
ORANG TUA TERCINTA SEBAGAI TANDA BAKTI DAN
HORMAT ATAS SEGENAP DOA, DUKUNGAN DAN
MOTIVASI YANG SELALU DIBERIKAN HINGGA SKRIPSI
INI BISA DISELESAIKAN.**

PERNYATAAN KEASLIAN

Yang bertanda tangan di bawah ini, saya dengan data diri sebagai berikut:

Nama : Valerianus Eurico Bandu
Nomor Registrasi : 21117081
Program Studi : Teknik Sipil
Fakultas : Teknik, Universitas Katolik Widya Mandira Kupang

Menyatakan bahwa skripsi dengan judul **PENGARUH TATA LETAK SHEAR WALL TERHADAP RESPON STRUKTUR BANGUNAN BERTINGKAT DENGAN TIPE KETIDAKBERATURAN SUDUT DALAM (L SHAPE) MENGGUNAKAN METODE ANALISIS RIWAYAT WAKTU (TIME HISTORY ANALYSIS)**.

Adalah benar-benar karya saya sendiri di bawah bimbingan pembimbing, dan saya tidak melakukan penjiplakan atau pengutipan dengan cara-cara yang tidak sesuai dengan etika keilmuan yang berlaku dalam masyarakat keilmuan.

Apabila dikemudian hari ditemukan adanya pelanggaran terhadap etika keilmuan dalam karya saya dan jika ada tuntutan formal dan non formal dari pihak lain yang berkaitan dengan keaslian karya saya ini, saya siap menanggung segala resiko, akibat dan/atau sanksi yang dijatuhkan kepada saya, termasuk pembatalan gelar akademik yang saya peroleh dari Universitas Katolik Widya Mandira Kupang.

Kupang, Juni 2022

Yang Membuat Pernyataan



KATA PENGANTAR

Puji syukur kehadirat Tuhan Yang Maha Esa karena atas berkat dan rahmat -Nya sehingga penulis dapat menyelesaikan Tugas Akhir dengan judul "**Pengaruh Tata Letak Shear wall Terhadap Respon Struktur Bangunan Bertingkat Dengan Tipe Ketidakberaturan Sudut Dalam (L Shape) Menggunakan Metode Analisis Riwayat Waktu (Time History Analysis)**" ini dengan baik, untuk memenuhi sebagian dari syarat - syarat dalam memperoleh gelar Sarjana Teknik pada Program Studi Teknik Sipil Fakultas Teknik Universitas Katolik Widya Mandira Kupang.

Tugas Akhir ini berhasil diselesaikan berkat bimbingan dan konstribusi dari banyak pihak. Oleh karena itu, patut dihaturkan terima kasih sebesar - besarnya kepada :

1. Bapak Patrisius Batarius, ST., MT, selaku Dekan Fakultas Teknik Universitas Katolik Widya Mandira Kupang.
2. Bapak Dr. Don Gaspar Noesaku Da Costa, ST., MT, selaku Ketua Program Studi Teknik Sipil Universitas Katolik Widya Mandira Kupang.
3. Bapak Ir. Rani Hendrikus, M.S dan Bapak Stephanus Ola Demon, ST.,MT, selaku Dosen Pembimbing yang telah meluangkan banyak waktunya untuk membimbing dan mengarahkan penulis dalam penyusunan Proposal ini.
4. Ayah Paulinus Bandu dan Ibu Adriana Herci Wajang, adik Citraliany Bandu dan Cristaliandy Bandu serta semua keluarga yang selalu mendukung.
5. Teman - teman "Metro & Samantha Fam" yang selalu membantu dan memberikan dukungan dan juga Teman - teman seperjuangan "Civil Engineering '17".
6. Semua pihak yang telah memberi dukungan moril maupun material yang tidak dapat disebutkan satu persatu.

Akhir kata penulis menyadari dan juga memohon maaf yang sebesar-besarnya apabila terdapat kekurangan serta kesalahan dalam penulisan dan penyusunan Tugas Akhir ini, oleh karena itu kritik dan saran diharapkan guna menyempurnakan Tugas Akhir ini.

Kupang, 2022

DAFTAR ISI

| | |
|--|---------|
| KATA PENGANTAR | i |
| DAFTAR ISI | viii |
| DAFTAR TABEL | xix |
| DAFTAR GAMBAR | xxxvii |
| BAB I..... | I - 1 |
| 1.1 Latar Belakang | I - 1 |
| 1.2 Rumusan Masalah | I - 3 |
| 1.3 Tujuan Penelitian..... | I - 3 |
| 1.4 Manfaat Penelitian..... | I - 4 |
| 1.5 Batasan Masalah..... | I - 4 |
| 1.6 Keterkaitan Dengan Penelitian Terdahulu | I - 5 |
| BAB II..... | II - 1 |
| 2.1 Konsep Perencanaan Bangunan Tahan Gempa | II - 1 |
| 2.2 Sistem Struktur Bangunan Tinggi | II - 1 |
| 2.1.1 Sistem Penahan Gaya Gravitasi..... | II - 2 |
| 2.1.2 Sistem Penahan Gaya Lateral | II - 4 |
| 2.1.2.1 <i>Shear wall</i> | II - 4 |
| 2.1.2.2 Brace Frame..... | II - 5 |
| 2.1.2.3 Moment Resisting Frames | II - 6 |
| 2.3 Dinding Geser (<i>Shear wall</i>)..... | II - 6 |
| 2.1.3 Pengertian <i>Shear Wall</i> | II - 6 |
| 2.1.4 Fungsi <i>Shear Wall</i> | II - 8 |
| 2.1.5 Klasifikasi <i>Shear Wall</i> | II - 8 |
| 2.1.6 Tipe dan Sistem Penempatan <i>Shear Wall</i> | II - 9 |
| 2.1.7 Bentuk Bukaan pada <i>Shear wall</i> | II - 11 |
| 2.1.8 Pola Runtuh <i>Shear Wall</i> | II - 12 |
| 2.4 Perilaku Struktur System Ganda (<i>Dual System</i>) | II - 13 |
| 2.4.1 Perilaku Struktur Rangka Kaku (Rigid Frame) | II - 14 |
| 2.4.2 Perilaku Dinding Geser (<i>Shear Wall / Cantilever Wall</i>) | II - 16 |
| 2.4.3 Perilaku Struktur Rangka-Dinding Geser (<i>Dual System</i>) | II - 17 |
| 2.5 Struktur Beraturan dan Tidak Beraturan..... | II - 19 |
| 2.5.1 Ketidakberaturan Horizontal | II - 19 |
| 2.5.2 Ketidakberaturan Vertikal..... | II - 22 |

| | |
|---|---------|
| 2.5.3 Pengaruh Ketidakberaturan Struktur Bangunan | II - 24 |
| 2.5.3.1 Konsentrasi Tegangan | II - 24 |
| 2.5.3.2 Torsi | II - 25 |
| 2.5.4 Beberapa Kondisi Serius Akibat Ketidakberaturan Konfigurasi pada Bangunan | II - 26 |
| 2.5.4.1 Kondisi Ketidakberaturan Kekakuan Tingkat Lunak dan Ketidakberaturan Kekakuan Tingkat Lemah | II - 26 |
| 2.5.4.2 Kondisi diskontinuitas pada elemen vertical pemikul gaya lateral (<i>shear wall</i>) | II - 29 |
| 2.5.4.3 Kondisi Variasi Kekuatan dan Kekakuan pada Perimeter | II - 30 |
| 2.5.4.4 Kondisi Sudut Dalam | II - 32 |
| 2.6 Pola Keruntuhan Bangunan Akibat Gempa..... | II - 35 |
| 2.6.1 Penambahan Kekakuan yang Tidak Disengaja | II - 35 |
| 2.6.2 Kekuatan Sambungan Balok - Kolom yang Tidak Memadahi..... | II - 36 |
| 2.6.3 Kegagalan Akibat Tegangan yang Terkonsentrasi | II - 37 |
| 2.6.4 Kegagalan pada Sambungan Dinding dan Atap | II - 37 |
| 2.6.5 Kegagalan Lokal pada Kolom | II - 37 |
| 2.6.6 Keruntuhan Akibat Berat/Massa pada Lantai | II - 38 |
| 2.6.7 Efek Torsi | II - 39 |
| 2.6.8 Keruntuhan pada Lantai Lunak..... | II - 39 |
| 2.6.9 Keruntuhan pada Bagian Tengah Bangunan | II - 40 |
| 2.6.10 Hentakan..... | II - 40 |
| 2.7 Kinerja Struktur..... | II - 40 |
| 2.8 Pembebaan Struktur | II - 44 |
| 2.8.1 Beban Mati | II - 44 |
| 2.8.2 Beban Hidup..... | II - 44 |
| 2.8.3 Beban Gempa | II - 45 |
| 2.8.3.1 Gempa Rencana..... | II - 45 |
| 2.8.3.2 Faktor Keutamaan Gempa dan Kategori Risiko Struktur Bangunan | II - 45 |
| 2.8.3.3 Parameter Percepatan Gempa | II - 47 |
| 2.8.3.4 Kelas Situs | II - 49 |
| 2.8.3.5 Menentukan Faktor Amplifikasi Getaran..... | II - 49 |
| 2.8.3.6 Parameter Percepatan Spektral Desain..... | II - 50 |
| 2.8.3.7 Spektrum Respon Desain..... | II - 50 |

| | |
|--|----------------|
| 2.8.3.8 Kategori Desain Seismik | II - 52 |
| 2.8.3.9 Pemilihan Sistem Struktur Pemikul Gaya Gempa | II - 52 |
| 2.8.3.10 Gaya Geser Dasar..... | II - 54 |
| 2.8.3.11 Perhitungan Koefisien Respon Seismic..... | II - 55 |
| 2.8.3.12 Menghitung Berat Seismik Efektif | II - 55 |
| 2.8.3.13 Distribusi Vertikal Gaya Seismic | II - 56 |
| 2.8.4 Kombinasi Pembebanan | II - 56 |
| 2.8.4.1 Pengaruh Beban Seismik..... | II - 57 |
| 2.8.4.2 Pengaruh Beban Seismik Horizontal | II - 57 |
| 2.8.4.3 Pengaruh Beban Seismik Vertikal..... | II - 57 |
| 2.9 Analisis Time History (Analisis Riwayat Waktu) | II - 58 |
| 2.9.1 Persyaratan Umum | II - 58 |
| 2.9.2 Persyaratan Umum Pemodelan..... | II - 58 |
| 2.9.3 Gerak Tanah | II - 59 |
| 2.9.4 Parameter Respons | II - 60 |
| 2.10 Kontrol Permodelan Struktur..... | II - 60 |
| 2.10.1 Kontrol Partisipasi Massa..... | II - 60 |
| 2.10.2 Kontrol Periode Fundamental Struktur..... | II - 61 |
| 2.10.3 Kontrol Skala Gaya Dinamis | II - 62 |
| 2.10.4 Penentuan Simpangan Antar Tingkat | II - 63 |
| 2.10.5 Kontrol Sistem Ganda | II - 64 |
| 2.10.6 Pengaruh P – Delta | II - 65 |
| BAB III..... | III - 1 |
| 3.1 Umum | III - 1 |
| 3.2 Data Perencanaan | III - 1 |
| 3.2.1 Penentuan Model Dasar Bangunan..... | III - 2 |
| 3.2.2 Denah Model Dasar Bangunan..... | III - 2 |
| 3.2.3 Permodelan Model Dasar Bangunan..... | III - 4 |
| 3.3 Permodelan Tata Letak <i>Shear wall</i> | III - 4 |
| 3.3.1 Model 2..... | III - 4 |
| 3.3.2 Model 3..... | III - 5 |
| 3.3.3 Model 4..... | III - 6 |
| 3.3.4 Model 5..... | III - 6 |
| 3.3.5 Model 6..... | III - 7 |

| | | |
|---------------|---|---------------|
| 3.4 | Diagram Alir..... | III - 8 |
| 3.5 | Penjelasan Diagram Alir..... | III - 9 |
| 3.5.1 | Menentukan Data Perencanaan Awal | III - 9 |
| 3.5.2 | Penentuan Model Dasar Bangunan..... | III - 10 |
| 3.5.3 | Permodelan Variasi Tata Letak <i>Shear wall</i> | III - 10 |
| 3.5.4 | Preliminary Design | III - 10 |
| 3.5.5 | Analisis Respon Struktur..... | III - 10 |
| 3.5.6 | Identifikasi Parameter Respon struktur..... | III - 11 |
| 3.5.7 | Perbandingan Respon Struktur..... | III - 11 |
| 3.5.8 | Kompilasi | III - 11 |
| 3.5.9 | Pembahasan | III - 12 |
| 3.5.10 | Kesimpulan dan Saran | III - 12 |
| BAB IV | | IV - 1 |
| 4.1 | Data Umum Perencanaan..... | IV - 1 |
| 4.1.1 | Data umum bangunan..... | IV - 1 |
| 4.1.2 | Data Material | IV - 1 |
| 4.2 | Preliminary Desain | IV - 2 |
| 4.2.1 | Preliminary Desain Balok | IV - 2 |
| 4.2.1.1 | Perencanaan Balok Induk | IV - 2 |
| 4.2.1.2 | Perencanaan Balok Anak..... | IV - 4 |
| 4.2.2 | Perencanaan Pelat..... | IV - 6 |
| 4.2.3 | Perencanaan Kolom..... | IV - 14 |
| 4.2.4 | Perencanaan Dinding Geser..... | IV - 17 |
| 4.2.5 | Pembebanan | IV - 17 |
| 4.2.5.1 | Beban Gravitasi..... | IV - 17 |
| 4.2.5.2 | Beban Hidup..... | IV - 18 |
| 4.2.6 | Pembebanan Gempa Dinamik..... | IV - 18 |
| 4.2.6.1 | Kelas Situs..... | IV - 18 |
| 4.2.6.2 | Parameter Respon Spektral..... | IV - 18 |
| 4.2.6.3 | Penentuan Kategori Desain Seismic | IV - 19 |
| 4.2.6.4 | Respon Spektrum Desain | IV - 20 |
| 4.2.6.5 | Data Akselerasi Gempa Time History..... | IV - 21 |
| 4.3 | Analisis Respon Struktur..... | IV - 23 |
| 4.3.1 | Model 1 | IV - 23 |

| | |
|---|-----|
| 4.3.1.1 Massa | 23 |
| 4.3.1.2 Kekakuan..... | 24 |
| 4.3.1.3 Analisis Modal Partisipasi Massa..... | 25 |
| 4.3.1.4 Periode | 28 |
| 4.3.1.5 Gaya Geser Dasar | 30 |
| 4.3.1.6 Displacement..... | 35 |
| 4.3.1.7 Simpangan Antar Lantai (Drift) | 36 |
| 4.3.1.8 Torsi..... | 39 |
| 4.3.1.9 Efek P – Delta..... | 45 |
| 4.3.1.10 Ketidakberaturan Horizontal | 48 |
| 4.3.1.11 Ketidakberaturan Vertikal | 53 |
| 4.3.1.12 Kinerja Struktur | 60 |
| 4.3.2 Model 2..... | 60 |
| 4.3.2.1 Massa | 60 |
| 4.3.2.2 Kekakuan..... | 61 |
| 4.3.2.3 Analisis Modal Partisipasi Massa..... | 62 |
| 4.3.2.4 Periode | 65 |
| 4.3.2.5 Gaya Geser Dasar | 67 |
| 4.3.2.6 Displacement..... | 71 |
| 4.3.2.7 Simpangan Antar Lantai..... | 73 |
| 4.3.2.8 Torsi..... | 75 |
| 4.3.2.9 Efek P-Delta | 82 |
| 4.3.2.10 Dual System..... | 84 |
| 4.3.2.11 Ketidakberaturan Horizontal | 86 |
| 4.3.2.12 Ketidakberaturan Vertikal | 91 |
| 4.3.2.13 Kinerja Struktur | 97 |
| 4.3.3 Model 3..... | 98 |
| 4.3.3.1 Massa | 98 |
| 4.3.3.2 Kekakuan..... | 98 |
| 4.3.3.3 Analisis Modal Partisipasi Massa..... | 99 |
| 4.3.3.4 Periode | 102 |
| 4.3.3.5 Gaya Geser Dasar | 104 |
| 4.3.3.6 Displacement..... | 109 |
| 4.3.3.7 Simpangan Antar Lantai..... | 110 |

| | |
|---|----------|
| 4.3.3.8 Torsi..... | IV - 112 |
| 4.3.3.9 Efek P – Delta..... | IV - 119 |
| 4.3.3.10 Dual System..... | IV - 121 |
| 4.3.3.11 Ketidakberaturan Horizontal | IV - 123 |
| 4.3.3.12 Ketidakberaturan Vertikal | IV - 128 |
| 4.3.3.13 Kinerja Struktur | IV - 135 |
| 4.3.4 Model 4..... | IV - 136 |
| 4.3.4.1 Massa | IV - 136 |
| 4.3.4.2 Kekakuan..... | IV - 136 |
| 4.3.4.3 Analisis Modal Partisipasi Massa..... | IV - 137 |
| 4.3.4.4 Periode | IV - 140 |
| 4.3.4.5 Gaya Geser Dasar | IV - 142 |
| 4.3.4.6 Displacement..... | IV - 147 |
| 4.3.4.7 Simpangan Antar Lantai..... | IV - 149 |
| 4.3.4.8 Torsi..... | IV - 151 |
| 4.3.4.9 Efek P – Delta..... | IV - 157 |
| 4.3.4.10 Dual System..... | IV - 159 |
| 4.3.4.11 Ketidakberaturan Horizontal | IV - 161 |
| 4.3.4.12 Ketidakberaturan Vertikal | IV - 166 |
| 4.3.4.13 Kinerja Struktur | IV - 172 |
| 4.3.5 Model 5..... | IV - 172 |
| 4.3.5.1 Massa | IV - 172 |
| 4.3.5.2 Kekakuan..... | IV - 173 |
| 4.3.5.3 Analisis Modal Partisipasi Massa..... | IV - 174 |
| 4.3.5.4 Periode | IV - 177 |
| 4.3.5.5 Gaya Geser Dasar | IV - 179 |
| 4.3.5.6 Displacement..... | IV - 184 |
| 4.3.5.7 Simpangan Antar Lantai..... | IV - 185 |
| 4.3.5.8 Torsi..... | IV - 188 |
| 4.3.5.9 Efek P – Delta..... | IV - 194 |
| 4.3.5.10 Dual System..... | IV - 196 |
| 4.3.5.11 Ketidakberaturan Horizontal | IV - 198 |
| 4.3.5.12 Ketidakberaturan Vertikal | IV - 203 |
| 4.3.5.13 Kinerja Struktur | IV - 210 |

| | |
|---|----------|
| 4.3.6 Model 6..... | IV - 210 |
| 4.3.6.1 Massa | IV - 210 |
| 4.3.6.2 Kekakuan..... | IV - 211 |
| 4.3.6.3 Modal Partisipasi Massa | IV - 212 |
| 4.3.6.4 Periode | IV - 215 |
| 4.3.6.5 Gaya Geser Dasar | IV - 217 |
| 4.3.6.6 Displacement..... | IV - 221 |
| 4.3.6.7 Simpangan Antar Lantai..... | IV - 223 |
| 4.3.6.8 Torsi..... | IV - 225 |
| 4.3.6.9 Efek P – Delta..... | IV - 231 |
| IV - 4.3.6.11 Ketidakberaturan Horizontal | IV - 235 |
| 4.3.6.12 Ketidakberaturan Vertikal | IV - 240 |
| 4.3.6.13 Kinerja Struktur | IV - 247 |
| 4.4 Perbandingan Terhadap Model Dasar Bangunan..... | IV - 248 |
| 4.4.1 Model 1 & Model 2 | IV - 248 |
| 4.4.1.1 Massa | IV - 248 |
| 4.4.1.2 Kekakuan..... | IV - 249 |
| 4.4.1.3 Analisis Modal Partisipasi Massa..... | IV - 251 |
| 4.4.1.4 Periode | IV - 253 |
| 4.4.1.5 Gaya Geser Dasar | IV - 254 |
| 4.4.1.6 Displacement..... | IV - 255 |
| 4.4.1.7 Simpangan Antar Lantai..... | IV - 258 |
| 4.4.1.8 Torsi..... | IV - 261 |
| 4.4.1.9 Pengaruh P – Delta | IV - 267 |
| 4.4.1.10 Ketidakberaturan Torsi dan Torsi Berlebih..... | IV - 271 |
| 4.4.1.11 Kinerja Struktur | IV - 277 |
| 4.4.2 Model 1 & Model 3 | IV - 278 |
| 4.4.2.1 Massa | IV - 278 |
| 4.4.2.2 Kekakuan..... | IV - 279 |
| 4.4.2.3 Modal Partisipasi Massa | IV - 281 |
| 4.4.2.4 Periode | IV - 282 |
| 4.4.2.5 Gaya Geser Dasar | IV - 283 |
| 4.4.2.6 Displacement..... | IV - 285 |
| 4.4.2.7 Simpangan Antar Lantai..... | 288 |

| | |
|---|----------|
| 4.4.2.8 Torsi..... | IV - 291 |
| 4.4.2.9 Pengaruh P – Delta | IV - 297 |
| 4.4.2.10 Ketidakberaturan Torsi dan Torsi Berlebih..... | IV - 301 |
| 4.4.2.11 Kinerja Struktur | IV - 306 |
| 4.4.3 Model 1 & Model 4 | IV - 307 |
| 4.4.3.1 Massa | IV - 307 |
| 4.4.3.2 Kekakuan..... | IV - 308 |
| 4.4.3.3 Modal Partisipasi Massa | IV - 310 |
| 4.4.3.4 Periode | IV - 312 |
| 4.4.3.5 Gaya Geser Dasar | IV - 313 |
| 4.4.3.6 Displacement..... | IV - 314 |
| 4.4.3.7 Simpangan Antar Lantai..... | IV - 317 |
| 4.4.3.8 Torsi..... | IV - 320 |
| 4.4.3.9 Pengaruh P – Delta | IV - 325 |
| 4.4.3.10 Ketidakberaturan Torsi dan Torsi Berlebih..... | IV - 328 |
| 4.4.3.11 Kinerja Struktur | IV - 333 |
| 4.4.4 Model 1 & Model 5 | IV - 334 |
| 4.4.4.1 Massa | IV - 334 |
| 4.4.4.2 Kekakuan..... | IV - 335 |
| 4.4.4.3 Modal Partisipasi Massa | IV - 337 |
| 4.4.4.4 Periode | IV - 339 |
| 4.4.4.5 Gaya Geser Dasar | IV - 340 |
| 4.4.4.6 Displacement..... | IV - 341 |
| 4.4.4.7 Simpangan Antar Lantai..... | IV - 344 |
| 4.4.4.8 Torsi..... | IV - 347 |
| 4.4.4.9 Pengaruh P – Delta | IV - 353 |
| 4.4.4.10 Ketidakberaturan Torsi dan Torsi Berlebih..... | IV - 356 |
| 4.4.4.11 Kinerja Struktur | IV - 361 |
| 4.4.5 Model 1 & Model 6 | IV - 362 |
| 4.4.5.1 Massa | IV - 362 |
| 4.4.5.2 Kekakuan..... | IV - 363 |
| 4.4.5.3 Modal Partisipasi Massa | IV - 365 |
| 4.4.5.4 Periode | IV - 366 |
| 4.4.5.5 Gaya Geser Dasar | IV - 367 |

| | |
|--|----------|
| 4.4.5.6 Displacement..... | IV - 368 |
| 4.4.5.7 Simpangan Antar Lantai..... | IV - 371 |
| 4.4.5.8 Torsi..... | IV - 374 |
| 4.4.5.9 Pengaruh P – Delta | IV - 379 |
| 4.4.5.10 Ketidakberaturan Torsi dan Torsi Berlebih..... | IV - 382 |
| 4.4.5.11 Kinerja Struktur | IV - 387 |
| 4.5 Kompilasi | IV - 387 |
| 4.5.1 Massa | IV - 387 |
| 4.5.1.1 Rekapitulasi Massa | IV - 387 |
| 4.5.1.2 Rasio Massa Terhadap Model 1 | IV - 388 |
| 4.5.2 Kekakuan..... | IV - 389 |
| 4.5.2.1 Rekapitulasi Kekakuan Arah X | IV - 389 |
| 4.5.2.2 Rekapitulasi Kekakuan Arah Y | IV - 391 |
| 4.5.2.3 Rasio Kekakuan Terhadap M1 Arah X | IV - 392 |
| 4.5.2.4 Rasio Kekakuan Terhadap M1 Arah Y | IV - 393 |
| 4.5.3 Modal Partisipasi Massa | IV - 395 |
| 4.5.4 Periode | IV - 397 |
| 4.5.4.1 Rekapitulasi Periode Arah X | IV - 397 |
| 4.5.4.2 Rekapitulasi Periode Arah Y | IV - 398 |
| 4.5.4.3 Rasio Periode Terhadap M1 Arah X | IV - 399 |
| 4.5.4.4 Rasio Periode Terhadap M1 Arah Y | IV - 399 |
| 4.5.5 Gaya Geser Dasar | IV - 399 |
| 4.5.5.1 Gempa Chi – Chi X | IV - 399 |
| 4.5.5.2 Gempa Chi – Chi Y | IV - 401 |
| 4.5.5.3 Rasio Gaya Geser Dasar Terhadap M1 pada Arah X...IV - 402 | |
| 4.5.5.4 Rasio Gaya Geser Dasar Terhadap M1 pada Arah Y ...IV - 402 | |
| 4.5.6 Displacement..... | IV - 403 |
| 4.5.6.1 Rekapitulasi Displacement Akibat Gempa Chi – Chi X.IV - 403 | |
| 4.5.6.2 Rekapitulasi Displacement Akibat Gempa Chi – Chi Y.IV - 406 | |
| 4.5.6.3 Rasio Displacement Terhadap M1 Akibat Gempa Chi – Chi X | IV - 409 |
| 4.5.6.4 Rasio Displacement Terhadap M1 Akibat Gempa Chi – Chi Y | IV - 411 |
| 4.5.7 Simpangan Antar Lantai..... | IV - 414 |

| | |
|---|-----------------|
| 4.5.7.1 Rekapitulasi Simpangan Antar Lantai Akibat Gempa Chi – Chi X | IV - 414 |
| 4.5.7.2 Rekapitulasi Simpangan Antar Lantai Akibat Gempa Chi – Chi Y | IV - 417 |
| 4.5.7.3 Rasio Simpangan Antar Lantai Terhadap M1 Akibat Gempa Chi – Chi X | IV - 420 |
| 4.5.7.4 Rasio Simpangan Antar Lantai Terhadap M1 Akibat Gempa Gempa Chi – Chi Y | IV - 422 |
| 4.5.8 Torsi..... | IV - 425 |
| 4.5.8.1 Eksentrisitas | IV - 425 |
| 4.5.8.2 Rekapitulasi Torsi pada Arah X | IV - 427 |
| 4.5.8.3 Rekapitulasi Torsi pada Arah Y | IV - 428 |
| 4.5.8.4 Rasio Torsi Terhadap M1 pada Arah X | IV - 429 |
| 4.5.8.5 Rasio Torsi Terhadap M1 pada Arah Y | IV - 430 |
| 4.5.9 Pengaruh P – Delta..... | IV - 431 |
| 4.5.9.1 Pengaruh P – Delta Akibat Gempa Chi – Chi X | IV - 431 |
| 4.5.9.2 Pengaruh P – Delta Akibat Gempa Chi – Chi Y | IV - 434 |
| 4.5.9.3 Rasio Pengaruh P – Delta Terhadap M1 Akibat Gempa Chi – Chi X | IV - 436 |
| 4.5.9.4 Rasio Pengaruh P – Delta Terhadap M1 Akibat Gempa Chi – Chi Y | IV - 438 |
| 4.5.10 Ketidakberaturan Torsi dan Torsi Berlebih | IV - 441 |
| 4.5.10.1 Rekapitulasi Ketidakberaturan Torsi dan Torsi Berlebih Akibat Gempa Chi – Chi X | IV - 441 |
| 4.5.10.2 Rekapitulasi Ketidakberaturan Torsi dan Torsi Berlebih Akibat Gempa Chi – Chi Y | IV - 444 |
| 4.5.10.3 Rasio Ketidakberaturan Torsi dan Torsi Berlebih Terhadap M1 akibat Gempa Chi – Chi X | IV - 447 |
| 4.5.10.4 Rasio Ketidakberaturan Torsi dan Torsi Berlebih Terhadap M1 akibat Chi – Chi Y..... | IV - 450 |
| 4.5.11 Kinerja Struktur | IV - 453 |
| 4.6 Pembahasan | IV - 454 |
| 4.6.1 Rekapitulasi Parameter Respon Bangunan | IV - 454 |
| 4.6.2 Pengskalaan Parameter Hasil Analisa Respon Bangunan | IV - 456 |
| 4.6.3 Hasil Analisa Pengskalaan Parameter Respon Bangunan..... | IV - 460 |
| BAB V | V - 1 |
| 5.1 Kesimpulan..... | V - 1 |

| | |
|----------------------------|----------------|
| 5.2 Saran | V - 2 |
| DAFTAR PUSTAKA..... | xxxviii |

DAFTAR TABEL

| | |
|---|---------|
| Tabel 2.1 Kategori level kinerja struktur | II - 40 |
| Tabel 2.2 Kategori level kinerja nonstruktur | II - 41 |
| Tabel 2.3 Batasan simpangan untuk level kinerja struktur | II - 43 |
| Tabel 2.4 Batasan drift untuk berbagai level kinerja struktur | 43 |
| Tabel 2.5 Kategori resiko bangunan gedung dan struktur lainnya untuk beban gempa..... | II - 46 |
| Tabel 2.6 Faktor keutamaan gempa..... | II - 47 |
| Tabel 2.7 Koefisien situs, F_a | II - 50 |
| Tabel 2.8 Koefisien Situs, F_v | II - 50 |
| Tabel 2.9 Kategori desain seismic berdasarkan parameter respons percepatan pada periode pendek | II - 52 |
| Tabel 2.10 Kategori desain seismic berdasarkan parameter respons percepatan pada periode 1 detik | II - 52 |
| Tabel 2.11 Faktor R, Cd, dan Ω_0 untuk sistem pemikul gaya seismik | II - 53 |
| Tabel 2.12 Koefisien untuk batas atas pada periode yang dihitung | II - 61 |
| Tabel 2.13 Nilai parameter periode pendekatan C_t dan x | II - 61 |
| Tabel 2.14 Simpangan antar tingkat izin, $\Delta aa, b$ | II - 64 |
| Tabel 4.1 Rekapitulasi dimensi balok | IV - 6 |
| Tabel 4.2 Pembebanan lantai 1 – 14..... | IV - 15 |
| Tabel 4.3 Pembebanan lantai atap..... | IV - 15 |
| Tabel 4.4 Kategori desain seismic berdasarkan parameter respon percepatan pada periode pendek | IV - 19 |
| Tabel 4.5 Kategori desain seismic berdasarkan parameter respon percepatan pada periode 1 detik | IV - 20 |
| Tabel 4.6 Hasil perhitungan respon spektrum desain..... | IV - 20 |
| Tabel 4.7 Massa bangunan M1 | IV - 24 |
| Tabel 4.8 Kekakuan bangunan M1..... | IV - 24 |
| Tabel 4.9 Modal partisipasi massa bangunan M1 | IV - 27 |
| Tabel 4.10 Berat Bangunan M1 | IV - 32 |
| Tabel 4.11 Gaya geser dasar dinamik bangunan M1 | IV - 33 |
| Tabel 4.12 Rasio gaya geser dasar dinamik - gaya geser static bangunan M1 | IV - 33 |

| | |
|--|---------|
| Tabel 4.13 Rekapitulasi faktor skala gaya geser dinamik bangunan M1 | IV - 34 |
| Tabel 4.14 Gaya geser dasar dinamik baru bangunan M1 | IV - 34 |
| Tabel 4.15 Rasio gaya geser dasar dinamik terkoreksi bangunan M1 | IV - 34 |
| Tabel 4.16 Displacement bangunan M1 | IV - 35 |
| Tabel 4.17 Simpangan antar lantai akibat gempa Chi – Chi X bangunan M1 | IV - 37 |
| Tabel 4.18 Simpangan antar lantai akibat gempa Chi – Chi Y bangunan M1 | IV - 37 |
| Tabel 4.19 Eksentrisitas bawaan bangunan M1 | IV - 39 |
| Tabel 4.20 Faktor pembesaran torsi bangunan M1 | IV - 41 |
| Tabel 4.21 Rekapitulasi pusat massa dan pusat kekakuan bangunan M1 ... | IV - 41 |
| Tabel 4.22 Rekapitulasi eksentrisitas pengaruh torsi takterduga bangunan M1 | IV - 42 |
| Tabel 4.23 Torsi bawaan bangunan model 1 | IV - 43 |
| Tabel 4.24 Torsi takterduga ecc + 5%..... | IV - 43 |
| Tabel 4.25 Torsi takterduga ecc – 5%..... | IV - 44 |
| Tabel 4.26 Gaya aksial dan gaya lateral bangunan model 1 | IV - 46 |
| Tabel 4.27 Pengaruh P – Delta akibat gempa Chi – Chi X..... | IV - 46 |
| Tabel 4.28 Pengaruh P – Delta akibat gempa Chi – Chi Y..... | IV - 47 |
| Tabel 4.29 Ketidakberaturan torsi dan torsi berlebih akibat gempa Chi – Chi X pada arah X | IV - 48 |
| Tabel 4.30 Ketidakberaturan torsi dan torsi berlebih akibat gempa Chi – Chi X pada arah Y | IV - 49 |
| Tabel 4.31 Ketidakberaturan torsi dan torsi berlebih akibat gempa Chi – Chi Y pada arah X | IV - 49 |
| Tabel 4.32 Ketidakberaturan torsi dan torsi berlebih akibat gempa Chi – Chi Y pada arah Y | IV - 50 |
| Tabel 4.33 Ketidakberaturan sudut dalam arah X..... | IV - 51 |
| Tabel 4.34 Ketidakberaturan sudut dalam arah Y..... | IV - 52 |
| Tabel 4.35 Ketidakberaturan diskontinuitas diafragma | IV - 52 |
| Tabel 4.36 Ketidakberaturan kekakuan tingkat lunak arah X | IV - 53 |
| Tabel 4.37 Ketidakberaturan kekakuan tingkat lunak arah Y | IV - 54 |
| Tabel 4.38 Ketidakberaturan kekakuan tingkat lunak berlebih pada arah X..... | IV - 55 |

| | |
|---|---------|
| Tabel 4.39 Ketidakberaturan kekakuan tingkat lunak berlebih pada arah Y | IV - 55 |
| Tabel 4.40 Ketidakberaturan massa..... | IV - 57 |
| Tabel 4.41 Ketidakberaturan tingkat lemah dan tingkat lemah berlebih akibat gempa Chi – Chi X pada arah X | IV - 58 |
| Tabel 4.42 Ketidakberaturan tingkat lemah dan tingkat lemah berlebih akibat gempa Chi – Chi X pada arah Y | IV - 58 |
| Tabel 4.43 Ketidakberaturan tingkat lemah dan tingkat lemah berlebih akibat gempa Chi – Chi Y pada arah X | IV - 59 |
| Tabel 4.44 Ketidakberaturan tingkat lemah dan tingkat lemah berlebih akibat gempa Chi – Chi Y pada arah Y | IV - 59 |
| Tabel 4.45 Kinerja struktur arah X..... | IV - 60 |
| Tabel 4.46 Kinerja struktur arah Y | IV - 60 |
| Tabel 4.47 Massa bangunan M2 | IV - 60 |
| Tabel 4.48 Kekakuan bangunan model 2..... | IV - 61 |
| Tabel 4.49 Modal partisipasi massa bangunan model 2..... | IV - 63 |
| Tabel 4.50 Massa bangunan model 2 | IV - 68 |
| Tabel 4.51 Gaya geser dasar dinamik bangunan M2 | IV - 69 |
| Tabel 4.52 Rasio gaya geser dasar dinamik – gaya geser static bangunan M2 | IV - 69 |
| Tabel 4.53 Rekapitulasi faktor skala gaya geser dinamik bangunan M1 | IV - 70 |
| Tabel 4.54 Gaya geser dasar dinamik baru bangunan M1 | IV - 71 |
| Tabel 4.55 Rasio gaya geser dinamik/statik terkoreksi..... | IV - 71 |
| Tabel 4.56 Perpindahan lateral bangunan model 2 | IV - 71 |
| Tabel 4.57 Simpangan antar lantai akibat gempa Chi – Chi X | IV - 73 |
| Tabel 4.58 Simpangan antar lantai akibat gempa Chi – Chi Y | IV - 74 |
| Tabel 4.59 Eksentrisitas bawaan bangunan M2 | IV - 76 |
| Tabel 4.60 Faktor pembesaran torsi bangunan M2 | IV - 77 |
| Tabel 4.61 Rekapitulasi pusat massa dan pusat kekakuan bangunan M2 ... | IV - 78 |
| Tabel 4.62 Rekapitulasi eksentrisitas pengaruh torsi takterduga bangunan M2 | IV - 78 |
| Tabel 4.63 Torsi bawaan | IV - 80 |
| Tabel 4.64 Torsi akibat pengaruh torsi takterduga ecc + 5% | IV - 80 |
| Tabel 4.65 Torsi akibat pengaruh torsi takterduga ecc – 5%..... | IV - 81 |

| | |
|--|---------|
| Tabel 4.66 Gaya aksial dan gaya lateral bangunan M2..... | IV - 82 |
| Tabel 4.67 Pengaruh P – Delta akibat gempa Chi – Chi X..... | IV - 83 |
| Tabel 4.68 Pengaruh P – Delta akibat gempa Chi – Chi Y..... | IV - 83 |
| Tabel 4.69 Gaya geser dasar akibat gempa Chi – Chi X..... | IV - 85 |
| Tabel 4.70 Gaya geser dasar akibat gempa Chi – Chi Y..... | IV - 85 |
| Tabel 4.71 Kontrol dual system | IV - 86 |
| Tabel 4.72 Ketidakberaturan torsi dan torsi berlebih akibat gempa Chi – Chi X pada arah X | IV - 86 |
| Tabel 4.73 Ketidakberaturan torsi dan torsi berlebih akibat gempa Chi – Chi X pada arah Y | IV - 87 |
| Tabel 4.74 Ketidakberaturan torsi dan torsi berlebih akibat gempa Chi – Chi Y pada arah X | IV - 87 |
| Tabel 4.75 Ketidakberaturan torsi dan torsi berlebih akibat gempa Chi – Chi Y pada arah Y | IV - 88 |
| Tabel 4.76 Ketidakberaturan sudut dalam arah X..... | IV - 89 |
| Tabel 4.77 Ketidakberaturan sudut dalam arah Y..... | IV - 90 |
| Tabel 4.78 Ketidakberaturan diskontinuitas diafragma | IV - 90 |
| Tabel 4.79 Ketidakberaturan kekakuan tingkat lunak pada arah X | IV - 91 |
| Tabel 4.80 Ketidakberaturan kekakuan tingkat lunak pada arah Y | IV - 92 |
| Tabel 4.81 Ketidakberaturan kekakuan tingkat lunak berlebih pada arah X..... | IV - 93 |
| Tabel 4.82 Ketidakberaturan kekakuan tingkat lunak berlebih pada arah Y | IV - 93 |
| Tabel 4.83 Ketidakberaturan massa..... | IV - 94 |
| Tabel 4.84 Ketidakberaturan tingkat lemah dan tingkat lemah berlebih akibat gempa Chi – Chi X pada arah X | IV - 95 |
| Tabel 4.85 Ketidakberaturan tingkat lemah dan tingkat lemah berlebih akibat gempa Chi – Chi X pada arah Y | IV - 96 |
| Tabel 4.86 Ketidakberaturan tingkat lemah dan tingkat lemah berlebih akibat gempa Chi – Chi Y pada arah X | IV - 96 |
| Tabel 4.87 Ketidakberaturan tingkat lemah dan tingkat lemah berlebih akibat gempa Chi – Chi Y pada arah Y | IV - 97 |
| Tabel 4.88 Kinerja struktur akibat gempa pada arah X..... | IV - 97 |
| Tabel 4.89 Kinerja struktur akibat gempa pada arah Y..... | IV - 97 |

| | |
|---|----------|
| Tabel 4.90 Massa bangunan M3 | IV - 98 |
| Tabel 4.91 Kekakuan bangunan M3..... | IV - 98 |
| Tabel 4.92 Modal partisipasi massa bangunan M3..... | IV - 101 |
| Tabel 4.93 Berat Bangunan M3..... | IV - 106 |
| Tabel 4.94 Gaya geser dasar dinamik bangunan M3 | IV - 107 |
| Tabel 4.95 Rasio gaya geser dasar dinamik/statik bangunan M3 | IV - 107 |
| Tabel 4.96 Rekapitulasi factor skala gaya geser dinamik bangunan M3 | IV - 108 |
| Tabel 4.97 Gaya geser dasar dinamik baru bangunan M3 | IV - 108 |
| Tabel 4.98 Rasio gaya geser dasar dinamik terkoreksi bangunan M3..... | IV - 108 |
| Tabel 4.99 Displacement bangunan M3..... | IV - 109 |
| Tabel 4.100 Simpangan antar lantai akibat pengaruh gempa Chi – Chi X..... | IV - 111 |
| Tabel 4.101 Simpangan antar lantai akibat pengaruh gempa Chi – Chi Y | IV - 111 |
| Tabel 4.102 Eksentrisitas bawaan bangunan M3 | IV - 113 |
| Tabel 4.103 Faktor pembesaran torsi bangunan M3 | IV - 115 |
| Tabel 4.104 Rekapitulasi pusat massa dan pusat kekakuan bangunan M3 | IV - 115 |
| Tabel 4.105 Rekapitulasi eksentrisitas pengaruh torsi takterduga bangunan M3 | IV - 116 |
| Tabel 4.106 Torsi bawaan dan pengaruh torsi takterduga bangunan M3 | IV - 117 |
| Tabel 4.107 Gaya aksial dan gaya lateral bangunan M3..... | IV - 119 |
| Tabel 4.108 Pengaruh P – Delta akibat gempa Chi – Chi X..... | IV - 120 |
| Tabel 4.109 Pengaruh P – Delta akibat gempa Chi – Chi Y..... | IV - 120 |
| Tabel 4.110 Gaya geser dasar akibat gempa Chi – Chi X..... | IV - 122 |
| Tabel 4.111 Gaya Geser dasar akibat gempa Chi – Chi Y | IV - 122 |
| Tabel 4.112 Kontrol dual system | IV - 123 |
| Tabel 4.113 Ketidakberaturan torsi dan torsi berlebih akibat gempa Chi – Chi X pada arah X | IV - 124 |
| Tabel 4.114 Ketidakberaturan torsi dan torsi berlebih akibat gempa Chi – Chi X pada arah Y | IV - 124 |
| Tabel 4.115 Ketidakberaturan torsi dan torsi berlebih akibat gempa Chi – Chi Y pada arah X | IV - 125 |

| | |
|--|----------|
| Tabel 4.116 Ketidakberaturan torsi dan torsi berlebih akibat gempa Chi – Chi Y pada arah Y | IV - 125 |
| Tabel 4.117 Ketidakberaturan sudut dalam arah X..... | IV - 127 |
| Tabel 4.118 Ketidakberaturan sudut dalam arah Y..... | IV - 127 |
| Tabel 4.119 Ketidakberaturan diskontinuitas diafragma | IV - 128 |
| Tabel 4.120 Ketidakberaturan kekakuan tingkat lunak arah X | IV - 129 |
| Tabel 4.121 Ketidakberaturan kekakuan tingkat lunak arah Y | IV - 129 |
| Tabel 4.122 Ketidakberaturan tingkat lunak berlebih arah X | IV - 131 |
| Tabel 4.123 Ketidakberaturan tingkat lunak berlebih arah Y | IV - 131 |
| Tabel 4.124 Ketidakberaturan massa..... | IV - 132 |
| Tabel 4.125 Ketidakberaturan tingkat lemah dan tingkat lemah berlebih akibat gempa Chi – Chi X pada arah X..... | IV - 133 |
| Tabel 4.126 Ketidakberaturan tingkat lemah dan tingkat lemah berlebih akibat gempa Chi – Chi X pada arah Y..... | IV - 134 |
| Tabel 4.127 Ketidakberaturan tingkat lemah dan tingkat lemah berlebih akibat gempa Chi – Chi Y pada arah X..... | IV - 134 |
| Tabel 4.128 Ketidakberaturan tingkat lemah dan tingkat lemah berlebih akibat gempa Chi – Chi Y pada arah Y | IV - 135 |
| Tabel 4.129 Kinerja struktur arah X..... | IV - 135 |
| Tabel 4.130 Kinerja struktur arah Y | IV - 135 |
| Tabel 4.131 Massa bangunan M4 | IV - 136 |
| Tabel 4.132 Kekakuan bangunan M4..... | IV - 136 |
| Tabel 4.133 Modal partisipasi massa bangunan M4..... | IV - 139 |
| Tabel 4.134 Massa bangunan M4 | IV - 144 |
| Tabel 4.135 Gaya geser dasar dinamik bangunan M4 | IV - 145 |
| Tabel 4.136 Rasio gaya geser dasar dinamik - gaya geser static bangunan M4 | IV - 145 |
| Tabel 4.137 Rekapitulasi faktor skala gaya geser dinamik bangunan M4 | IV - 146 |
| Tabel 4.138 Gaya geser dasar dinamik baru | IV - 146 |
| Tabel 4.139 Rasio gaya geser dasar dinamik/statik terkoreksi | IV - 147 |
| Tabel 4.140 Displacement bangunan M4..... | IV - 147 |
| Tabel 4.141 Simpangan antar lantai akibat pengaruh gempa Chi – Chi X | IV - 149 |

| | |
|---|----------|
| Tabel 4.142 Simpangan antar lantai akibat pengaruh gempa Chi – Chi Y | IV - 150 |
| Tabel 4.143 Eksentrisitas bangunan M4 | IV - 152 |
| Tabel 4.144 Faktor pembesaran torsi bangunan M4 | IV - 153 |
| Tabel 4.145 Rekapitulasi pusat massa dan pusat kekakuan bangunan M4 | IV - 154 |
| Tabel 4.146 Rekapitulasi eksentrisitas pengaruh torsi takterduga bangunan M4 | IV - 154 |
| Tabel 4.147 Torsi bawaan dan pengaruh torsi takterduga | IV - 156 |
| Tabel 4.148 Gaya aksial dan gaya lateral bangunan M4..... | IV - 157 |
| Tabel 4.149 Pengaruh P – Delta akibat gempa Chi – Chi X..... | IV - 158 |
| Tabel 4.150 Pengaruh P – Delta akibat gempa Chi – Chi Y..... | IV - 158 |
| Tabel 4.151 Gaya geser dasar akibat gempa Chi – Chi X..... | IV - 159 |
| Tabel 4.152 Gaya Geser dasar akibat gempa Chi – Chi Y..... | IV - 160 |
| Tabel 4.153 Kontrol dual system | IV - 161 |
| Tabel 4.154 Ketidakberaturan torsi dan torsi berlebih akibat gempa Chi – Chi X pada arah X..... | IV - 162 |
| Tabel 4.155 Ketidakberaturan torsi dan torsi berlebih akibat gempa Chi – Chi X pada arah Y..... | IV - 162 |
| Tabel 4.156 Ketidakberaturan torsi dan torsi berlebih akibat gempa Chi – Chi Y pada arah X..... | IV - 163 |
| Tabel 4.157 Ketidakberaturan torsi dan torsi berlebih akibat gempa Chi – Chi Y pada arah Y..... | IV - 163 |
| Tabel 4.158 Ketidakberaturan sudut dalam arah X..... | IV - 165 |
| Tabel 4.159 Ketidakberaturan sudut dalam arah Y..... | IV - 165 |
| Tabel 4.160 Ketidakberaturan diskontinuitas diafragma | IV - 166 |
| Tabel 4.161 Ketidakberaturan kekakuan tingkat lunak arah X | IV - 166 |
| Tabel 4.162 Ketidakberaturan kekakuan tingkat lunak arah Y | IV - 167 |
| Tabel 4.163 Ketidakberaturan tingkat lunak berlebih arah X | IV - 168 |
| Tabel 4.164 Ketidakberaturan tingkat lunak berlebih arah Y | IV - 168 |
| Tabel 4.165 Ketidakberaturan tingkat lemah dan tingkat lemah berlebih akibat gempa Chi – Chi X pada arah X..... | IV - 170 |
| Tabel 4.166 Ketidakberaturan tingkat lemah dan tingkat lemah berlebih akibat gempa Chi – Chi X pada arah Y..... | IV - 171 |

| | |
|---|----------|
| Tabel 4.167 Ketidakberaturan tingkat lemah dan tingkat lemah berlebih akibat gempa Chi – Chi Y pada arah X..... | IV - 171 |
| Tabel 4.168 Ketidakberaturan tingkat lemah dan tingkat lemah berlebih akibat gempa Chi – Chi Y pada arah Y..... | IV - 172 |
| Tabel 4.169 Kinerja struktur arah X..... | IV - 172 |
| Tabel 4.170 Kinerja struktur arah Y..... | IV - 172 |
| Tabel 4.171 Massa bangunan M5 | IV - 173 |
| Tabel 4.172 Kekakuan bangunan M5..... | IV - 173 |
| Tabel 4.173 Modal partisipasi massa bangunan M5..... | IV - 176 |
| Tabel 4.174 Berat Bangunan M5..... | IV - 181 |
| Tabel 4.175 Gaya geser dasar dinamik bangunan M5 | IV - 182 |
| Tabel 4.176 Rasio gaya geser dasar dinamik - gaya geser static bangunan M5 | IV - 182 |
| Tabel 4.177 Rekapitulasi factor skala gaya geser dinamik bangunan M5 | IV - 183 |
| Tabel 4.178 Gaya geser dasar dinamik baru bangunan M5..... | IV - 183 |
| Tabel 4.179 Rasio gaya geser dasar dinamik terkoreksi bangunan M5 | IV - 183 |
| Tabel 4.180 Displacement bangunan M5..... | IV - 184 |
| Tabel 4.181 Simpangan antar lantai akibat gempa Chi – Chi X bangunan M5 | IV - 186 |
| Tabel 4.182 Simpangan antar lantai akibat gempa Chi – Chi Y bangunan M5 | IV - 186 |
| Tabel 4.183 Eksentrisitas bawaan bangunan M5 | IV - 188 |
| Tabel 4.184 Faktor pembesaran torsi bangunan M5 | IV - 190 |
| Tabel 4.185 Rekapitulasi pusat massa dan pusat kekakuan bangunan M5 | IV - 190 |
| Tabel 4.186 Rekapitulasi eksentrisitas pengaruh torsi takterduga bangunan M5 | IV - 191 |
| Tabel 4.187 Torsi bawaan dan pengaruh torsi takterduga bangunan M5 ... | IV - 192 |
| Tabel 4.188 Gaya aksial dan gaya lateral bangunan model 5..... | IV - 194 |
| Tabel 4.189 Pengaruh P – Delta akibat gempa Chi – Chi X..... | IV - 195 |
| Tabel 4.190 Pengaruh P – Delta akibat gempa Chi – Chi Y..... | IV - 195 |
| Tabel 4.191 Gaya geser dasar akibat gempa Chi – Chi X..... | IV - 196 |

| | |
|---|----------|
| Tabel 4.192 Gaya Geser dasar akibat gempa Chi – Chi Y | IV - 197 |
| Tabel 4.193 Kontrol dual system | IV - 198 |
| Tabel 4.194 Ketidakberaturan torsi dan torsi berlebih akibat gempa Chi – Chi X pada arah X | IV - 198 |
| Tabel 4.195 Ketidakberaturan torsi dan torsi berlebih akibat gempa Chi – Chi X pada arah Y | IV - 199 |
| Tabel 4.196 Ketidakberaturan torsi dan torsi berlebih akibat gempa Chi – Chi Y pada arah X | IV - 199 |
| Tabel 4.197 Ketidakberaturan torsi dan torsi berlebih akibat gempa Chi – Chi Y pada arah Y | IV - 200 |
| Tabel 4.198 Ketidakberaturan sudut dalam arah X | IV - 201 |
| Tabel 4.199 Ketidakberaturan sudut dalam arah Y | IV - 202 |
| Tabel 4.200 Ketidakberaturan diskontinuitas diafragma | IV - 202 |
| Tabel 4.201 Ketidakberaturankekakuan tingkat lunak arah X | IV - 203 |
| Tabel 4.202 Ketidakberaturankekakuan tingkat lunak arah Y | IV - 203 |
| Tabel 4.203 Ketidakberaturan tingkat lunak berlebih arah X | IV - 205 |
| Tabel 4.204 Ketidakberaturan tingkat lunak berlebih arah Y | IV - 205 |
| Tabel 4.205 Ketidakberaturan massa..... | IV - 207 |
| Tabel 4.206 Ketidakberaturan tingkat lemah dan tingkat lemah berlebih akibat gempa Chi – Chi X pada arah X | IV - 208 |
| Tabel 4.207 Ketidakberaturan tingkat lemah dan tingkat lemah berlebih akibat gempa Chi – Chi X pada arah Y | IV - 208 |
| Tabel 4.208 Ketidakberaturan tingkat lemah dan tingkat lemah berlebih akibat gempa Chi – Chi Y pada arah X | IV - 209 |
| Tabel 4.209 Ketidakberaturan tingkat lemah dan tingkat lemah berlebih akibat gempa Chi – Chi Y pada arah Y | IV - 209 |
| Tabel 4.210 Kinerja struktur arah X | IV - 210 |
| Tabel 4.211 Kinerja struktur arah Y | IV - 210 |
| Tabel 4.212 Massa bangunan M6 | IV - 210 |
| Tabel 4.213 Kekakuan bangunan M6..... | IV - 211 |
| Tabel 4.214 Modal partisipasi massa bangunan M6..... | IV - 213 |
| Tabel 4.215 Berat bangunan M6 | IV - 218 |
| Tabel 4.216 Gaya geser dasar dinamik bangunan M6 | IV - 219 |

| | |
|---|----------|
| Tabel 4.217 Rasio gaya geser dasar dinamik - gaya geser static bangunan M6 | IV - 219 |
| Tabel 4.218 Rekapitulasi faktor skala gaya geser dinamik bangunan M6 | IV - 220 |
| Tabel 4.219 Gaya geser dasar dinamik baru bangunan M6..... | IV - 221 |
| Tabel 4.220 Rasio gaya geser dasar dinamik terkoreksi bangunan M6..... | IV - 221 |
| Tabel 4.221 Displacement bangunan M6..... | IV - 221 |
| Tabel 4.222 Simpangan antar lantai akibat pengaruh gempa Chi – Chi X | IV - 223 |
| Tabel 4.223 Simpangan antar lantai akibat pengaruh gempa Chi – Chi Y | IV - 223 |
| Tabel 4.224 Eksentrisitas bangunan M6 | IV - 225 |
| Tabel 4.225 Faktor pembesaran torsi bangunan M6 | IV - 227 |
| Tabel 4.226 Rekapitulasi pusat massa dan pusat kekakuan bangunan M6 | IV - 228 |
| Tabel 4.227 Rekapitulasi eksentrisitas pengaruh torsi takterduga bangunan M6 | IV - 228 |
| Tabel 4.228 Torsi bawaan dan pengaruh torsi takterduga | IV - 229 |
| Tabel 4.229 Gaya aksial dan gaya lateral bangunan M6..... | IV - 231 |
| Tabel 4.230 Pengaruh P – Delta akibat gempa Chi – Chi X bangunan M6 | IV - 232 |
| Tabel 4.231 Pengaruh P – Delta akibat gempa Chi – Chi Y bangunan M6 | IV - 232 |
| Tabel 4.232 Gaya geser dasar akibat gempa Chi – Chi X..... | IV - 233 |
| Tabel 4.233 Gaya geser dasar akibat gempa Chi – Chi Y..... | IV - 234 |
| Tabel 4.234 Kontrol dual system | IV - 235 |
| Tabel 4.235 Ketidakberaturan torsi dan torsi berlebih akibat gempa Chi – Chi X pada arah X | IV - 236 |
| Tabel 4.236 Ketidakberaturan torsi dan torsi berlebih akibat gempa Chi – Chi X pada arah Y | IV - 236 |
| Tabel 4.237 Ketidakberaturan torsi dan torsi berlebih akibat gempa Chi – Chi Y pada arah X | IV - 237 |
| Tabel 4.238 Ketidakberaturan torsi dan torsi berlebih akibat gempa Chi – Chi Y pada arah Y | IV - 237 |

| | |
|--|----------|
| Tabel 4.239 Ketidakberaturan sudut dalam arah X..... | IV - 239 |
| Tabel 4.240 Ketidakberaturan sudut dalam arah Y..... | IV - 239 |
| Tabel 4.241 Ketidakberaturan diskontinuitas diafragma | IV - 240 |
| Tabel 4.242 Ketidakberaturan kekakuan tingkat lunak arah X | IV - 241 |
| Tabel 4.243 Ketidakberaturan kekakuan tingkat lunak arah Y | IV - 241 |
| Tabel 4.244 Ketidakberaturan tingkat lunak berlebih arah X..... | IV - 243 |
| Tabel 4.245 Ketidakberaturan tingkat lunak berlebih arah Y | IV - 243 |
| Tabel 4.246 Ketidakberaturan massa..... | IV - 244 |
| Tabel 4.247 Ketidakberaturan tingkat lemah dan tingkat lemah berlebih akibat gempa Chi – Chi X pada arah X..... | IV - 245 |
| Tabel 4.248 Ketidakberaturan tingkat lemah dan tingkat lemah berlebih akibat gempa Chi – Chi X pada arah Y..... | IV - 246 |
| Tabel 4.249 Ketidakberaturan tingkat lemah dan tingkat lemah berlebih akibat gempa Chi – Chi Y pada arah X..... | IV - 246 |
| Tabel 4.250 Ketidakberaturan tingkat lemah dan tingkat lemah berlebih akibat gempa Chi – Chi Y pada arah Y..... | IV - 247 |
| Tabel 4.251 Kinerja struktur arah X..... | IV - 247 |
| Tabel 4.252 Kinerja struktur arah Y | IV - 247 |
| Tabel 4.253 Perbandingan massa M2 - M1 | IV - 248 |
| Tabel 4.254 Perbandingan kekakuan M2 - M1 | IV - 249 |
| Tabel 4.255 Perbandingan modal partisipasi massa M2 – M1 | IV - 251 |
| Tabel 4.256 Perbandingan periode M2 – M1 | IV - 253 |
| Tabel 4.257 Perbandingan gaya geser dasar dinamik M2 – M1 | IV - 254 |
| Tabel 4.258 Perbandingan perpindahan lateral M2 – M1 | IV - 255 |
| Tabel 4.259 Rasio perpindahan lateral M2 – M1 | IV - 257 |
| Tabel 4.260 Perbandingan simpangan antar lantai M2 – M1 | IV - 258 |
| Tabel 4.261 Rasio simpangan antar lantai M2 – M1..... | IV - 260 |
| Tabel 4.262 Rekapitulasi pusat massa bangunan M2 – M1 | IV - 261 |
| Tabel 4.263 Rekapitulasi pusat kekakuan bangunan M2 – M1 | IV - 262 |
| Tabel 4.264 Rekapitulasi eksentrisitas bangunan M2 – M1 | IV - 262 |
| Tabel 4.265 Perbandingan torsi arah X bangunan M2 – M1 | IV - 264 |
| Tabel 4.266 Perbandingan torsi arah Y bangunan M2 – M1 | IV - 265 |
| Tabel 4.267 Rasio torsi M2 – M1..... | IV - 266 |

| | |
|--|----------|
| Tabel 4.268 Perbandingan pengaruh P – Delta pada bangunan M2 – M1 akibat gempa Chi – Chi X | IV - 267 |
| Tabel 4.269 Perbandingan Pengaruh P – Delta pada bangunan M2 – M1 akibat gempa Chi – Chi Y | IV - 269 |
| Tabel 4.270 Rasio pengaruh P – Delta bangunan M2 - M1 | IV - 270 |
| Tabel 4.271 Perbandingan ketidakberaturan torsi dan torsi berlebih M2 – M1 | IV - 271 |
| Tabel 4.272 Rasio ketidakberaturan torsi dan torsi berlebih M2 – M1 | IV - 273 |
| Tabel 4.273 Perbandingan ketidakberaturan torsi dan torsi berlebih M2 – M1 | IV - 274 |
| Tabel 4.274 Rasio ketidakberatutan torsi dan torsi berlebih M2 – M1 | IV - 276 |
| Tabel 4.275 Perbandingan kinerja struktur arah X | IV - 277 |
| Tabel 4.276 Perbandingan kinerja struktur arah Y | IV - 277 |
| Tabel 4.277 Perbandingan massa M3 - M1 | IV - 278 |
| Tabel 4.278 Perbandingan kekakuan M3 - M1 | IV - 279 |
| Tabel 4.279 Perbandingan modal partisipasi massa M3 – M1 | IV - 281 |
| Tabel 4.280 Perbandingan periode M3 – M1 | IV - 282 |
| Tabel 4.281 Perbandingan gaya geser dasar dinamik M3 – M1 | IV - 283 |
| Tabel 4.282 Perbandingan perpindahan lateral M3 – M1 | IV - 285 |
| Tabel 4.283 Rasio perpindahan lateral M3 – M1 | IV - 286 |
| Tabel 4.284 Perbandingan simpangan antar lantai M3 – M1 | IV - 288 |
| Tabel 4.285 Rasio simpangan antar lantai M3 – M1 | IV - 289 |
| Tabel 4.286 Rekapitulasi pusat massa bangunan M3 – M1 | IV - 291 |
| Tabel 4.287 Rekapitulasi pusatkekakuan bangunan M3 – M1 | IV - 291 |
| Tabel 4.288 Rekapitulasi eksentrisitas bangunan M3 – M1 | IV - 292 |
| Tabel 4.289 Perbandingan torsi arah X bangunan M3 – M1 | IV - 293 |
| Tabel 4.290 Perbandingan torsi arah Y bangunan M3 – M1 | IV - 295 |
| Tabel 4.291 Rasio torsi M3 – M1 | IV - 296 |
| Tabel 4.292 Perbandingan Pengaruh P – Delta pada bangunan M3 – M1 akibat gempa Chi – Chi X | IV - 297 |
| Tabel 4.293 Perbandingan Pengaruh P – Delta pada bangunan M3 – M1 akibat gempa Chi – Chi Y | IV - 298 |
| Tabel 4.294 Rasio pengaruh P – Delta bangunan M3 - M1 | IV - 299 |

| | |
|---|----------|
| Tabel 4.295 Perbandingan ketidakberaturan torsi dan torsi berlebih | |
| M3 – M1 | IV - 301 |
| Tabel 4.296 Rasio ketidakberaturan torsi dan torsi berlebih M3 – M1 | IV - 302 |
| Tabel 4.297 Perbandingan ketidakberaturan torsi dan torsi berlebih | |
| M3 – M1 | IV - 304 |
| Tabel 4.298 Rasio ketidakberatutan torsi dan torsi berlebih M3 – M1 | IV - 305 |
| Tabel 4.299 Perbandingan kinerja struktur arah X..... | IV - 306 |
| Tabel 4.300 Perbandingan kinerja struktur arah Y..... | IV - 307 |
| Tabel 4.301 Perbandingan massa M4 - M1 | IV - 307 |
| Tabel 4.302 Perbandingan kekakuan M4 - M1 | IV - 308 |
| Tabel 4.303 Perbandingan modal partisipasi massa M4 – M1 | IV - 310 |
| Tabel 4.304 Perbandingan periode M4 – M1 | IV - 312 |
| Tabel 4.305 Perbandingan gaya geser dasar dinamik M4 – M1 | IV - 313 |
| Tabel 4.306 Perbandingan perpindahan lateral M4 – M1 | IV - 314 |
| Tabel 4.307 Rasio perpindahan lateral M4 – M1 | IV - 315 |
| Tabel 4.308 Perbandingan simpangan antar lantai M4 – M1 | IV - 317 |
| Tabel 4.309 Rasio simpangan antar lantai M4 – M1..... | IV - 318 |
| Tabel 4.310 Rekapitulasi pusat massa bangunan M4 – M1 | IV - 320 |
| Tabel 4.311 Rekapitulasi pusat kekakuan bangunan M4 – M1..... | IV - 320 |
| Tabel 4.312 Rekapitulasi eksentrisitas bangunan M4 – M1 | IV - 321 |
| Tabel 4.313 Perbandingan torsi arah X bangunan M4 – M1 | IV - 322 |
| Tabel 4.314 Perbandingan torsi arah Y bangunan M2 – M1 | IV - 323 |
| Tabel 4.315 Rasio torsi M4 – M1..... | IV - 324 |
| Tabel 4.316 Perbandingan Pengaruh P – Delta pada bangunan | |
| M4 – M1 akibat gempa Chi – Chi X..... | IV - 325 |
| Tabel 4.317 Perbandingan Pengaruh P – Delta pada bangunan | |
| M4 – M1 akibat gempa Chi – Chi Y..... | IV - 326 |
| Tabel 4.318 Rasio pengaruh P – Delta bangunan M4 - M1 | IV - 327 |
| Tabel 4.319 Perbandingan ketidakberaturan torsi dan torsi berlebih | |
| M4 – M1 | IV - 328 |
| Tabel 4.320 Rasio ketidakberaturan torsi dan torsi berlebih M4 – M1 | IV - 330 |
| Tabel 4.321 Perbandingan ketidakberaturan torsi dan torsi berlebih | |
| M4 – M1 | IV - 331 |
| Tabel 4.322 Rasio ketidakberatutan torsi dan torsi berlebih M4 – M1 | IV - 332 |

| | |
|--|----------|
| Tabel 4.323 Perbandingan kinerja struktur arah X..... | IV - 333 |
| Tabel 4.324 Perbandingan kinerja struktur arah Y..... | IV - 333 |
| Tabel 4.325 Perbandingan massa M5 - M1 | IV - 334 |
| Tabel 4.326 Perbandingan kekakuan M5 - M1 | IV - 335 |
| Tabel 4.327 Perbandingan modal partisipasi massa M5 – M1 | IV - 337 |
| Tabel 4.328 Perbandingan periode M5 – M1 | IV - 339 |
| Tabel 4.329 Perbandingan gaya geser dasar dinamik M5 – M1 | IV - 340 |
| Tabel 4.330 Perbandingan perpindahan lateral M5 – M1 | IV - 341 |
| Tabel 4.331 Rasio perpindahan lateral M5 – M1 | IV - 342 |
| Tabel 4.332 Perbandingan simpangan antar lantai M5 – M1 | IV - 344 |
| Tabel 4.333 Rasio simpangan antar lantai M5 – M1..... | IV - 345 |
| Tabel 4.334 Rekapitulasi pusat massa bangunan M5 – M1 | IV - 347 |
| Tabel 4.335 Rekapitulasi pusat kekakuan bangunan M5 – M1 | IV - 347 |
| Tabel 4.336 Rekapitulasi eksentrisitas bangunan M5 – M1 | IV - 348 |
| Tabel 4.337 Perbandingan torsi arah X bangunan M5 – M1 | IV - 349 |
| Tabel 4.338 Perbandingan torsi arah Y bangunan M5 – M1 | IV - 350 |
| Tabel 4.339 Rasio torsi M5 - M1..... | IV - 351 |
| Tabel 4.340 Perbandingan Pengaruh P – Delta pada bangunan M5 – M1 akibat gempa Chi – Chi X..... | IV - 353 |
| Tabel 4.341 Perbandingan Pengaruh P – Delta pada bangunan M5 – M1 akibat gempa Chi – Chi Y..... | IV - 354 |
| Tabel 4.342 Rasio pengaruh P – Delta bangunan M5 - M1..... | IV - 355 |
| Tabel 4.343 Perbandingan ketidakberaturan torsi dan torsi berlebih M5 – M1 | IV - 356 |
| Tabel 4.344 Rasio ketidakberaturan torsi dan torsi berlebih M5 – M1 | IV - 357 |
| Tabel 4.345 Perbandingan ketidakberaturan torsi dan torsi berlebih M5 – M1 | IV - 359 |
| Tabel 4.346 Rasio ketidakberatan tors dan tors berlebih M5 – M1 | IV - 360 |
| Tabel 4.347 Perbandingan kinerja struktur arah X..... | IV - 361 |
| Tabel 4.348 Perbandingan kinerja struktur arah Y..... | IV - 361 |
| Tabel 4.349 Perbandingan massa M6 - M1 | IV - 362 |
| Tabel 4.350 Perbandingan kekakuan M6 - M1 | IV - 363 |
| Tabel 4.351 Perbandingan modal partisipasi massa M6 – M1 | IV - 365 |
| Tabel 4.352 Perbandingan periode M6 – M1 | IV - 366 |

| | |
|--|----------|
| Tabel 4.353 Perbandingan gaya geser dasar dinamik M6 – M1 | IV - 367 |
| Tabel 4.354 Perbandingan perpindahan lateral M6 – M1 | IV - 368 |
| Tabel 4.355 Rasio perpindahan lateral M6 – M1 | IV - 370 |
| Tabel 4.356 Perbandingan simpangan antar lantai M6 – M1 | IV - 371 |
| Tabel 4.357 Rasio simpangan antar lantai M6 – M1..... | IV - 372 |
| Tabel 4.358 Rekapitulasi pusat massa bangunan M5 – M1 | IV - 374 |
| Tabel 4.359 Rekapitulasi pusat kekakuan bangunan M5 – M1 | IV - 374 |
| Tabel 4.360 Rekapitulasi eksentrisitas bangunan M2 – M1 | IV - 375 |
| Tabel 4.361 Perbandingan torsi arah X bangunan M6 – M1 | IV - 376 |
| Tabel 4.362 Perbandingan torsi arah Y bangunan M6 – M1 | IV - 377 |
| Tabel 4.363 Rasio M6 – M1..... | IV - 378 |
| Tabel 4.364 Perbandingan Pengaruh P – Delta pada bangunan M6 – M1 akibat gempa Chi – Chi X..... | IV - 379 |
| Tabel 4.365 Perbandingan Pengaruh P – Delta pada bangunan M6 – M1 akibat gempa Chi – Chi Y..... | IV - 380 |
| Tabel 4.366 Rasio pengaruh P – Delta bangunan M6 - M1..... | IV - 381 |
| Tabel 4.367 Perbandingan ketidakberaturan torsi dan torsi berlebih M6 – M1 | IV - 382 |
| Tabel 4.368 Rasio ketidakberaturan torsi dan torsi berlebih M6 – M1 | IV - 384 |
| Tabel 4.369 Perbandingan ketidakberaturan torsi dan torsi berlebih M6 – M1 | IV - 385 |
| Tabel 4.370 Rasio ketidakberatutan torsi dan torsi berlebih M6 – M1 | IV - 386 |
| Tabel 4.371 Perbandingan kinerja struktur arah X..... | IV - 387 |
| Tabel 4.372 Perbandingan kinerja struktur arah Y..... | IV - 387 |
| Tabel 4.373 Rekapitulasi massa..... | IV - 387 |
| Tabel 4.374 Rasio massa terhadap M1..... | IV - 388 |
| Tabel 4.375 Rekapitulasi kekakuan arah X | IV - 389 |
| Tabel 4.376 Rekapitulasi kekakuan arah Y | IV - 391 |
| Tabel 4.377 Rasio kekakuan terhadap M1 pada arah X..... | IV - 392 |
| Tabel 4.378 Rasio kekakuan terhadap M1 pada arah Y | IV - 393 |
| Tabel 4.379 Rekapitulasi modal partisipasi massa | IV - 395 |
| Tabel 4.380 Rekapitulasi periode arah X | IV - 397 |
| Tabel 4.381 Rekapitulasi periode arah Y | IV - 398 |
| Tabel 4.382 Rasio periode terhadap M1 pada arah X | IV - 399 |

| | |
|--|----------|
| Tabel 4.383 Rasio periode terhadap M1 pada arah Y | IV - 399 |
| Tabel 4.384 Rekapitulasi gaya geser dasar dinamik arah X..... | IV - 399 |
| Tabel 4.385 Rekapitulasi gaya geser dasar dinamik arah Y..... | IV - 401 |
| Tabel 4.386 Rasio gaya geser dasar terhadap M1 pada arah X | IV - 402 |
| Tabel 4.387 Rasio gaya geser dasar terhadap M1 pada arah Y | IV - 402 |
| Tabel 4.388 Perpindahan lateral akibat gempa Chi – Chi X pada arah X...IV - 403 | |
| Tabel 4.389 Perpindahan lateral akibat gempa Chi – Chi X pada arah Y ...IV - 404 | |
| Tabel 4.390 Perpindahan lateral akibat gempa Chi – Chi Y pada arah X ...IV - 406 | |
| Tabel 4.391 Perpindahan lateral akibat gempa Chi – Chi Y pada arah Y ...IV - 407 | |
| Tabel 4.392 Rasio perpindahan lateral terhadap M1 akibat gempa Chi – Chi X pada arah X | IV - 409 |
| Tabel 4.393 Rasio perpindahan lateral terhadap M1 akibat gempa Chi – Chi X pada arah Y | IV - 410 |
| Tabel 4.394 Rasio perpindahan lateral terhadap M1 akibat gempa Chi – Chi Y pada arah X | IV - 411 |
| Tabel 4.395 Rasio perpindahan lateral terhadap M1 akibat gempa Chi – Chi Y pada arah Y | IV - 413 |
| Tabel 4.396 Simpangan antar lantai akibat gempa Chi – Chi X pada arah X | IV - 414 |
| Tabel 4.397 Simpangan antar lantai akibat gempa Chi – Chi X pada arah Y | IV - 416 |
| Tabel 4.398 Simpangan antar lantai akibat gempa Chi – Chi Y pada arah X..... | IV - 417 |
| Tabel 4.399 Simpangan antar lantai akibat gempa Chi – Chi Y pada arah Y | IV - 418 |
| Tabel 4.400 Rasio simpangan antar lantai terhadap M1 akibat gempa Chi – Chi X pada arah X | IV - 420 |
| Tabel 4.401 Rasio simpangan antar lantai terhadap M1 akibat gempa Chi – Chi X pada arah Y | IV - 421 |
| Tabel 4.402 Rasio simpangan antar lantai terhadap M1 akibat gempa Chi – Chi Y pada arah X | IV - 422 |
| Tabel 4.403 Rasio simpangan antar lantai terhadap M1 akibat gempa Chi – Chi Y pada arah Y | IV - 424 |
| Tabel 4.404 Rekapitulasi pusat massa..... | IV - 425 |

| | |
|--|----------|
| Tabel 4.405 Rekapitulasi pusat kekakuan..... | IV - 425 |
| Tabel 4.406 Rekapitulasi eksentrisitas | IV - 426 |
| Tabel 4.407 Rekapitulasi pengaruh torsi maksimum akibat gempa pada arah X | IV - 427 |
| Tabel 4.408 Rekapitulasi pengaruh torsi maksimum akibat gempa pada arah Y | IV - 428 |
| Tabel 4.409 Rasio torsi terhadap M1 pada arah X | IV - 429 |
| Tabel 4.410 Rasio torsi terhadap M1 pada arah Y | IV - 430 |
| Tabel 4.411 Pengaruh P – Delta akibat gempa Chi – Chi X pada arah X...IV - 431 | |
| Tabel 4.412 Pengaruh P – Delta akibat gempa Chi – Chi X pada arah Y...IV - 432 | |
| Tabel 4.413 Pengaruh P – Delta akibat gempa Chi – Chi Y pada arah X...IV - 434 | |
| Tabel 4.414 Pengaruh P – Delta akibat gempa Chi – Chi Y pada arah Y...IV - 435 | |
| Tabel 4.415 Rasio pengaruh P – Delta terhadap M1 akibat gempa Chi – Chi X pada arah X | IV - 436 |
| Tabel 4.416 Rasio pengaruh P – Delta terhadap M1 akibat gempa Chi – Chi X pada arah Y | IV - 437 |
| Tabel 4.417 Rasio pengaruh P – Delta terhadap M1 akibat gempa Chi – Chi Y pada arah X | IV - 438 |
| Tabel 4.418 Rasio pengaruh P – Delta terhadap M1 akibat gempa Chi – Chi Y pada arah Y | IV - 439 |
| Tabel 4.419 Rekapitulasi ketidakberaturan torsi dan torsi berlebih akibat gempa Chi – Chi X pada arah X..... | IV - 441 |
| Tabel 4.420 Rekapitulasi ketidakberaturan torsi dan torsi berlebih akibat gempa Chi – Chi X pada arah Y..... | IV - 442 |
| Tabel 4.421 Rekapitulasi ketidakberaturan torsi dan torsi berlebih akibat gempa Chi – Chi Y pada arah X..... | IV - 444 |
| Tabel 4.422 Rekapitulasi ketidakberaturan torsi dan torsi berlebih akibat gempa Chi – Chi Y pada arah Y | IV - 445 |
| Tabel 4.423 Rasio ketidakberaturan torsi dan torsi berlebih terhadap M1 akibat gempa Chi – Chi X pada arah X..... | IV - 447 |
| Tabel 4.424 Rasio ketidakberaturan torsi dan torsi berlebih terhadap M1 akibat gempa Chi – Chi X pada arah Y..... | IV - 448 |
| Tabel 4.425 Rasio ketidakberaturan torsi dan torsi berlebih terhadap M1 akibat gempa Chi – Chi Y pada arah X..... | IV - 450 |

| | |
|--|----------|
| Tabel 4.426 Rasio ketidakberaturan torsi dan torsi berlebih terhadap M1 akibat gempa Chi – Chi Y pada arah Y | IV - 451 |
| Tabel 4.427 Rekapitulasi kinerja struktur bangunan akibat gempa pada arah X | IV - 453 |
| Tabel 4.428 Rekapitulasi kinerja struktur bangunan akibat gempa pada arah Y | IV - 453 |
| Tabel 4.429 Rekapitulasi parameter respon bangunan | IV - 454 |
| Tabel 4.430 Nilai tiap grade..... | IV - 457 |
| Tabel 4.431 Pengskalaan parameter respon bangunan | IV - 458 |
| Tabel 4.432 Bobot parameter respon bangunan | IV - 459 |
| Tabel 4.433 Perbandingan bobot hasil analisa parameter respon bangunan | IV - 460 |
| Tabel 4.434 Rekapitulasi luas shear wall | IV - 460 |

DAFTAR GAMBAR

| | |
|---|---------|
| Gambar 1.1 Kerusakan akibat gempa pada bangunan berbentuk L | I - 2 |
| Gambar 2.1 Jenis pelat penahan gaya gravitasi..... | II - 3 |
| Gambar 2.2 <i>Shear wall</i> system..... | II - 5 |
| Gambar 2.3 Brace Frame System | II - 5 |
| Gambar 2.4 Shearwall berdasarkan letak dan fungsinya | II - 9 |
| Gambar 2.5 Beberapa tipe dinding geser | II - 10 |
| Gambar 2.6 Sistem penempatan dinding geser..... | II - 11 |
| Gambar 2.7 Bentuk bukaan pada dinding geser..... | II - 12 |
| Gambar 2.8 Deformasi struktur terhadap beban lateral..... | II - 14 |
| Gambar 2.9 Respons lenturan balok dan kolom..... | II - 15 |
| Gambar 2.10 Simpangan pada Struktur Rangka Kaku..... | II - 16 |
| Gambar 2.11 Letak dan pola goyangan struktur dinding (structural walls) | II - 17 |
| Gambar 2.12 Superimpos mode individu dari deformasi..... | II - 18 |
| Gambar 2.13 Ketidakberaturan torsi dan ketidakberaturan torsi berlebih..... | II - 20 |
| Gambar 2.14 Ketidakberaturan sudut dalam | II - 20 |
| Gambar 2.15 Ketidakberaturan diskontinuitas diafragma..... | II - 21 |
| Gambar 2.16 Ketidakberaturan akibat pergeseran tegak lurus terhadap bidang | II - 21 |
| Gambar 2.17 Ketidakberaturan nonparallel | II - 21 |
| Gambar 2.18 Ketidakberaturan kekakuan tingkat lunak dan ketidakberaturan tingkat lunak berlebih | II - 22 |
| Gambar 2.19 Ketidakberaturan berat (massa)..... | II - 22 |
| Gambar 2.20 Ketidakberaturan geometri vertikal | II - 23 |
| Gambar 2.21 Ketidakberaturan akibat diskontinuitas bidang pada elemen vertical pemikul gaya lateral..... | II - 23 |
| Gambar 2.22 Ketidakberaturan tingkat lemah dan ketidakberaturan tingkat lemah berlebih | II - 24 |
| Gambar 2.23 Konsentrasi tegangan pada bangunan dengan ketidakberaturan sudut dalam..... | II - 25 |
| Gambar 2.24 Respon struktur bangunan dengan ketidakberaturan tingkat lunak dan lemah | II - 27 |
| Gambar 2.25 Tiga jenis kondisi lantai lunak..... | II - 28 |

| | |
|---|---------|
| Gambar 2.26 Solusi desain untuk kondisi lantai lunak..... | II - 28 |
| Gambar 2.27 Rumah Sakit Olive (dinding geser berhenti di lantai pertama) . | II - 29 |
| Gambar 2.28 Rumah Sakit Olive, balkon lantai dua dan dinding geser terputus..... | II - 30 |
| Gambar 2.29 Rumah Sakit Olive, gempa San Fernando 1971 perhatikan deformasi ekstrim kolom di atas tingkat balkon | II - 30 |
| Gambar 2.30 Torsi akibat variasi kekuatan dankekakuan di sekitar perimeter bangunan | II - 31 |
| Gambar 2.31 Beberapa solusi untuk mengatasi kondisi kekakuan pada perimeter..... | II - 31 |
| Gambar 2.32 Model bangunan dengan sudut dalam..... | II - 32 |
| Gambar 2.33 Konsentrasi tegangan pada sudut reentrant..... | II - 33 |
| Gambar 2.34 Torsi akibat eksentrisitas pusat massa dan pusat kekakuan ... | II - 33 |
| Gambar 2.35 Solusi untuk kondisi sudut dalam | II - 35 |
| Gambar 2.36 Meminimalisir tegangan di sudut dalam..... | II - 35 |
| Gambar 2.37 kolom pendek yang tidak disengaja | II - 36 |
| Gambar 2.38 Kegagalan sambungan dengan detail yang buruk | II - 36 |
| Gambar 2.39 Pola keruntuhan akibat tegangan yang terkonsentrasi | II - 37 |
| Gambar 2.40 Kegagalan lokal pada kolom | II - 38 |
| Gambar 2.41 Keruntuhan pada lantai yang berat | II - 38 |
| Gambar 2.42 Torsi akibat penambahan dinding yang tidak | II - 39 |
| Gambar 2.43 Keruntuhan pada lantai lunak..... | II - 39 |
| Gambar 2.44 Tingkat kinerja struktur | II - 42 |
| Gambar 2.45 Parameter gerak tanah, S _s | II - 48 |
| Gambar 2.46 Parameter gerak tanah, S ₁ | II - 48 |
| Gambar 2.47 Spektrum Respon Desain..... | II - 51 |
| Gambar 2.48 Penentuan simpangan antar tingkat | II - 63 |
| Gambar 3.1 Denah model dasar bangunan lantai 1- 14..... | III - 3 |
| Gambar 3.2 Denah model dasar bangunan lantai atap | III - 3 |
| Gambar 3.3 Model 1 | III - 4 |
| Gambar 3.4 Model 2 | III - 5 |
| Gambar 3.5 Model 3 | III - 5 |
| Gambar 3.6 Model 4 tampilan X – Y | III - 6 |
| Gambar 3.7 Model 5 | III - 7 |

| | |
|--|---------|
| Gambar 3.8 Model 6 | III - 7 |
| Gambar 3.15 Diagram alir penelitian..... | III - 8 |
| Gambar 3.10 Lanjutan diagram alir penelitian | III - 9 |
| Gambar 4.1 Denah rencana balok | IV - 2 |
| Gambar 4.2 Denah rencana pelat | IV - 6 |
| Gambar 4.3 Pelat S1 (400 x 400 cm) | IV - 7 |
| Gambar 4.4 Penampang balok sisi bawah..... | IV - 8 |
| Gambar 4.5 Penampang balok sisi atas..... | IV - 9 |
| Gambar 4.6 Penampang balok sisi kiri..... | IV - 10 |
| Gambar 4.7 Penampang balok sisi kanan | IV - 12 |
| Gambar 4.8 Rencana Kolom dan Luas Pembebatan Kolom..... | IV - 14 |
| Gambar 4.9 Respon spektrum desain kota Ruteng | IV - 21 |
| Gambar 4.10 Pengskalaan Ground Moution Chi – Chi X | IV - 22 |
| Gambar 4.11 Pengskalaan Ground Moution Chi – Chi Y | IV - 22 |
| Gambar 4.12 Match Respon Spektrum Chi – Chi X | IV - 23 |
| Gambar 4.13 Match Respon Spektrum Chi – Chi Y | IV - 23 |
| Gambar 4.14 Kekakuan bangunan M1..... | IV - 25 |
| Gambar 4.15 Mode 1 bangunan M1 (Translasi arah Y, T = 2.757 detik) | IV - 26 |
| Gambar 4.16 Mode 2 bangunan M1 (Translasi X, T = 2.679 detik) | IV - 26 |
| Gambar 4.17 Mode 3 bangunan M1 (Rotasi RZ, T = 2.575 detik) | IV - 26 |
| Gambar 4.18 Modal partisipasi massa bangunan M1..... | IV - 28 |
| Gambar 4.19 Perpindahan lateral akibat gempa bangunan M1 | IV - 35 |
| Gambar 4.20 Simpangan antar lantai bangunan model 1 | IV - 38 |
| Gambar 4.21 Eksentrisitas bawaan bangunan M1 | IV - 40 |
| Gambar 4.22 Eksentrisitas akibat pengaruh torsi takterduga bangunan M1..... | IV - 42 |
| Gambar 4.23 Rekapitulasi torsi bangunan M1 | IV - 44 |
| Gambar 4.24 Pengaruh P – Delta bangunan M1 | IV - 47 |
| Gambar 4.25 Ketidakberaturan torsi dan torsi berlebih bangunan M1 | IV - 50 |
| Gambar 4.26 Ketidakberaturan kekakuan tingkat lunak | IV - 54 |
| Gambar 4.27 Ketidakberaturan kekakuan tingkat lunak berlebih | IV - 56 |
| Gambar 4.28 Ketidakberaturan massa..... | IV - 57 |
| Gambar 4.29 Kekakuan bangunan model 2..... | IV - 61 |
| Gambar 4.30 Mode 1 bangunan M1 (Rotasi RZ, T = 2.14 detik)..... | IV - 62 |

| | |
|---|----------|
| Gambar 4.31 Mode 2 bangunan M2 (Translasi UX, T = 1.886 detik)..... | IV - 62 |
| Gambar 4.32 Mode 3 bangunan M2 (Translasi UY, T = 1.389 detik)..... | IV - 63 |
| Gambar 4.33 Modal partisipasi massa bangunan M2..... | IV - 64 |
| Gambar 4.34 Perpindahan lateral akibat gempa bangunan M2 | IV - 72 |
| Gambar 4.35 Simpangan antar lantai bangunan model 2 | IV - 74 |
| Gambar 4.36 Eksentrisitas bawaan bangunan M2 | IV - 76 |
| Gambar 4.37 Eksentrisitas akibat pengaruh torsi takterduga bangunan M2..... | IV - 79 |
| Gambar 4.38 Rekapitulasi torsi bangunan M2 | IV - 81 |
| Gambar 4.39 Pengaruh P – Delta bangunan model 2..... | IV - 84 |
| Gambar 4.40 Ketidakberaturan torsi dan torsi berlebih bangunan M2 | IV - 88 |
| Gambar 4.41 Ketidakberaturan kekakuan tingkat lunak | IV - 92 |
| Gambar 4.42 Ketidakberaturan kekakuan tingkat lunak berlebih | IV - 94 |
| Gambar 4.43 Ketidakberaturan massa..... | IV - 95 |
| Gambar 4.44 Kekakuan bangunan M3..... | IV - 99 |
| Gambar 4.45 Mode 1 (Translasi arah X, T = 2.099 detik)..... | IV - 100 |
| Gambar 4.46 Mode 2 (Translasi arah Y, T = 1.851 detik)..... | IV - 100 |
| Gambar 4.47 Mode 3 (Rotasi arah Z, T = 1.304 detik) | IV - 100 |
| Gambar 4.48 Modal partisipasi massa bangunan M3..... | IV - 102 |
| Gambar 4.49 Displacement bangunan M3..... | IV - 109 |
| Gambar 4.50 Simpangan antar lantai bangunan model 3 | IV - 112 |
| Gambar 4.51 Eksentrisitas bawaan bangunan M3 | IV - 114 |
| Gambar 4.52 Eksentrisitas akibat pengaruh torsi takterduga bangunan M3..... | IV - 116 |
| Gambar 4.53 Rekapitulasi torsi bangunan M3 | IV - 118 |
| Gambar 4.54 Pengaruh P – Delta bangunan M3..... | IV - 121 |
| Gambar 4.55 Ketidakberaturan torsi dan torsi berlebih bangunan M3 | IV - 126 |
| Gambar 4.56 Ketidakberaturan kekakuan tingkat lunak | IV - 130 |
| Gambar 4.57 Evaluasi ketidakberaturan kekakuan tingkat lunak berlebih M3 | IV - 132 |
| Gambar 4.58 Ketidakberaturan massa bangunan M3 | IV - 133 |
| Gambar 4.59 Kekakuan bangunan M4..... | IV - 137 |
| Gambar 4.60 Mode 1 (Translasi arah X, T = 1.67 detik)..... | IV - 138 |
| Gambar 4.61 Mode 2 (Translasi arah Y, T = 1.551 detik)..... | IV - 138 |

| | |
|--|----------|
| Gambar 4.62 Mode 3 (Rotasi arah Z, T = 1.175 detik) | IV - 138 |
| Gambar 4.63 Modal partisipasi massa bangunan M4..... | IV - 140 |
| Gambar 4.64 Displacement bangunan M4..... | IV - 148 |
| Gambar 4.65 Simpangan antar lantai bangunan M4 | IV - 150 |
| Gambar 4.66 Eksentrisitas bawaan bangunan M4 | IV - 152 |
| Gambar 4.67 Eksentrisitas akibat pengaruh torsi takterduga bangunan M4..... | IV - 155 |
| Gambar 4.68 Rekapitulasi torsi bangunan M4 | IV - 156 |
| Gambar 4.69 Pengaruh P – Delta bangunan M4 | IV - 159 |
| Gambar 4.70 Ketidakberaturan torsi dan torsi berlebih bangunan M4 | IV - 164 |
| Gambar 4.71 Evaluasi kekakuan tingkat lunak bangunan model 4 | IV - 167 |
| Gambar 4.72 Evaluasi ketidakberaturan tingkal lunak berlebih bangunan moedel 4..... | IV - 169 |
| Gambar 4.73 Evaluasi ketidakberaturan massa bangunan M4..... | IV - 170 |
| Gambar 4.74 Kekakuan bangunan M5..... | IV - 174 |
| Gambar 4.75 Mode 1 (Translasi arah X, T = 1.688 detik)..... | IV - 175 |
| Gambar 4.76 Mode 5 (Translasi Arah Y, T = 1.456 detik) | IV - 175 |
| Gambar 4.77 Mode 3 (Rotasi arah Z, T = 1.229 detik) | IV - 175 |
| Gambar 4.78 Modal partisipasi massa bangunan M5..... | IV - 177 |
| Gambar 4.79 Displacement bangunan M5..... | IV - 184 |
| Gambar 4.80 Simpangan antar lantai bangunan M5 | IV - 187 |
| Gambar 4.81 Eksentrisitas bawaan bangunan M5 | IV - 189 |
| Gambar 4.82 Eksentrisitas akibat pengaruh torsi takterduga bangunan M5..... | IV - 191 |
| Gambar 4.83 Rekapitulasi torsi bangunan M5 | IV - 193 |
| Gambar 4.84 Pengaruh P – Delta bangunan M5 | IV - 196 |
| Gambar 4.85 Ketidakberaturan torsi dan torsi berlebih bangunan M5 | IV - 200 |
| Gambar 4.86 Evaluasi ketidakberaturan tingkat lunak bangunan M5 | IV - 204 |
| Gambar 4.87 Evaluasi ketidakberaturan tingkat lunak berlebih bangunan M5..... | IV - 206 |
| Gambar 4.88 Evaluasi ketidakberaturan massa bangunan M5 | IV - 207 |
| Gambar 4.89 Kekakuan bangunan M6..... | IV - 211 |
| Gambar 4.90 Mode 1 (Translasi arah X, T = 1.441 detik)..... | IV - 212 |
| Gambar 4.91 Mode 2 (Translasi arah Y, T = 1.299 detik)..... | IV - 212 |

| | |
|---|----------|
| Gambar 4.92 Mode 3 (Rotasi arah Z, $T = 1.017$ detik) | IV - 213 |
| Gambar 4.93 Modal partisipasi massa bangunan M6..... | IV - 214 |
| Gambar 4.94 Displacement bangunan M6..... | IV - 222 |
| Gambar 4.95 Simpangan antar lantai bangunan M6 | IV - 224 |
| Gambar 4.96 Eksentrisitas bawaan bangunan M6 | IV - 226 |
| Gambar 4.97 Eksentrisitas akibat pengaruh torsi takterduga bangunan M6..... | IV - 229 |
| Gambar 4.98 Rekapitulasi torsi bangunan M6 | IV - 230 |
| Gambar 4.99 Pengaruh P – Delta bangunan M6..... | IV - 233 |
| Gambar 4.100 Evaluasi ketidakberaturan torsi dan torsi berlebih bangunan M6 | IV - 238 |
| Gambar 4.101 Ketidakberaturan kekakuan tingkat lunak bangunan M6..... | IV - 242 |
| Gambar 4.102 Evaluasi ketidakberaturan kekakuan tingkat lunak berlebih bangunan M6 | IV - 244 |
| Gambar 4.103 Evaluasi ketidakberaturan massa bangunan model 6 | IV - 245 |
| Gambar 4.104 Perbandingan massa bangunan M2 – M1 | IV - 248 |
| Gambar 4.105 Perbandingan kekakuan bangunan M2 – M1 | IV - 250 |
| Gambar 4.106 Rasio kekakuan M2 – M1 | IV - 251 |
| Gambar 4.107 Perbandingan modal partisipasi massa M2 – M1 | IV - 252 |
| Gambar 4.108 Perbandingan periode M2 – M1 | IV - 253 |
| Gambar 4.109 Perbandingan gaya geser dinamik M2 – M1 | IV - 254 |
| Gambar 4.110 Perbandingan perpindahan lateral M2 – M1..... | IV - 256 |
| Gambar 4.111 Rasio perpindahan lateral M2 – M1 | IV - 257 |
| Gambar 4.112 Perbandingan simpangan antar lantai bangunan M2 – M1 | IV - 259 |
| Gambar 4.113 Rasio simpangan antar lantai bangunan M2 – M1 | IV - 260 |
| Gambar 4.114 Eksentrisitas bangunan M1 dan M2..... | IV - 263 |
| Gambar 4.115 Perbandingan torsi arah X bangunan M2 – M1 | IV - 264 |
| Gambar 4.116 Perbandingan torsi arah Y bangunan M2 – M1 | IV - 265 |
| Gambar 4.117 Rasio torsi M2 – M1..... | IV - 267 |
| Gambar 4.118 Perbandingan Pengaruh P – Delta pada bangunan M2 – M1 akibat gempa Chi – Chi X..... | IV - 268 |
| Gambar 4.119 Perbandingan Pengaruh P – Delta pada bangunan M2 – M1 akibat gempa Chi – Chi Y..... | IV - 269 |

| | |
|---|----------|
| Gambar 4.120 Rasio pengaruh P – Delta bangunan M2 - M1 | IV - 270 |
| Gambar 4.121 Perbandingan pengaruh ketidakberaturan torsi dan torsi berlebih akibat gempa Chi – Chi X pada bangunan M2 – M1 | IV - 272 |
| Gambar 4.122 Rasio ketidakberaturan torsi dan torsi berlebih M2 – M1 | IV - 273 |
| Gambar 4.123 Perbandingan pengaruh ketidakberaturan torsi dan torsi berlebih akibat gempa Chi – Chi Y pada bangunan M2 – M1 | IV - 275 |
| Gambar 4.124 Rasio ketidakberaturan torsi dan torsi berlebih M2 – M1 | IV - 276 |
| Gambar 4.125 Perbandingan massa bangunan M3 – M1 | IV - 278 |
| Gambar 4.126 Perbandingak kekakuan bangunan M3 – M1 | IV - 279 |
| Gambar 4.127 Rasio kekakuan M3 – M1 | IV - 280 |
| Gambar 4.128 Perbandingan modal partisipasi massa M3 – M1 | IV - 282 |
| Gambar 4.129 Perbandingan periode M3 – M1 | IV - 283 |
| Gambar 4.130 Perbandingan gaya geser dinamik M3 – M1 | IV - 284 |
| Gambar 4.131 Perbandingan perpindahan lateral M3 – M1..... | IV - 285 |
| Gambar 4.132 Rasio perpindahan lateral M3 – M1 | IV - 287 |
| Gambar 4.133 Perbandingan simpangan antar lantai bangunan M3 – M1 | IV - 288 |
| Gambar 4.134 Rasio simpangan antar lantai bangunan M3 – M1 | IV - 290 |
| Gambar 4.135 Eksentrisitas bangunan M1 dan M3..... | IV - 292 |
| Gambar 4.136 Perbandingan torsi arah X bangunan M3 – M1 | IV - 294 |
| Gambar 4.137 Perbandingan torsi arah Y bangunan M3 – M1 | IV - 295 |
| Gambar 4.138 Rasio Torsi M3 – M1 | IV - 296 |
| Gambar 4.139 Perbandingan Pengaruh P – Delta pada bangunan M3 – M1 akibat gempa Chi – Chi X..... | IV - 298 |
| Gambar 4.140 Perbandingan Pengaruh P – Delta pada bangunan M3 – M1 akibat gempa Chi – Chi Y..... | IV - 299 |
| Gambar 4.141 Rasio pengaruh P – Delta bangunan M3 - M1 | IV - 300 |
| Gambar 4.142 Perbandingan pengaruh ketidakberaturan torsi dan torsi berlebih akibat gempa Chi – Chi X pada bangunan M3 – M1 | IV - 301 |
| Gambar 4.143 Rasio ketidakberaturan torsi dan torsi berlebih M3 – M1 | IV - 303 |

| | |
|---|----------|
| Gambar 4.144 Perbandingan pengaruh ketidakberaturan torsi dan torsi berlebih akibat gempa Chi – Chi Y pada bangunan M3 – M1 | IV - 304 |
| Gambar 4.145 Rasio ketidakberaturan torsi dan torsi berlebih M3 – M1 | IV - 306 |
| Gambar 4.146 Perbandingan massa bangunan M4 – M1 | IV - 308 |
| Gambar 4.147 Perbandingak kekakuan bangunan M4 – M1 | IV - 309 |
| Gambar 4.148 Rasio kekakuan M4 – M1 | IV - 310 |
| Gambar 4.149 Perbandingan modal partisipasi massa M4 – M1 | IV - 311 |
| Gambar 4.150 Perbandingan periode M4 – M1 | IV - 312 |
| Gambar 4.151 Perbandingan gaya geser dinamik M4 – M1 | IV - 313 |
| Gambar 4.152 Perbandingan perpindahan lateral M4 – M1 | IV - 314 |
| Gambar 4.153 Rasio perpindahan lateral M4 – M1 | IV - 316 |
| Gambar 4.154 Perbandingan simpangan antar lantai bangunan M4 – M1 | IV - 317 |
| Gambar 4.155 Rasio simpangan antar lantai bangunan M4 – M1 | IV - 319 |
| Gambar 4.156 Eksentrisitas bangunan M1 dan M2..... | IV - 321 |
| Gambar 4.157 Perbandingan torsi arah X bangunan M4 – M1 | IV - 322 |
| Gambar 4.158 Perbandingan torsi arah Y bangunan M4 – M1 | IV - 323 |
| Gambar 4.159 Rasio torsi M4 – M1..... | IV - 324 |
| Gambar 4.160 Perbandingan Pengaruh P – Delta pada bangunan M4 – M1 akibat gempa Chi – Chi X..... | IV - 325 |
| Gambar 4.161 Perbandingan Pengaruh P – Delta pada bangunan M4 – M1 akibat gempa Chi – Chi Y | IV - 326 |
| Gambar 4.162 Rasio pengaruh P – Delta bangunan M4 - M1 | IV - 327 |
| Gambar 4.163 Perbandingan pengaruh ketidakberaturan torsi dan torsi berlebih akibat gempa Chi – Chi X pada bangunan M4 – M1 | IV - 329 |
| Gambar 4.164 Rasio ketidakberaturan torsi dan torsi berlebih M4 – M1 | IV - 330 |
| Gambar 4.165 Perbandingan pengaruh ketidakberaturan torsi dan torsi berlebih akibat gempa Chi – Chi Y pada bangunan M4 – M1 | IV - 331 |
| Gambar 4.166 Rasio ketidakberaturan torsi dan torsi berlebih M4 – M1 | IV - 333 |
| Gambar 4.167 Perbandingan massa bangunan M5 – M1 | IV - 334 |
| Gambar 4.168 Perbandingak kekakuan bangunan M5 – M1 | IV - 336 |

| | |
|---|----------|
| Gambar 4.169 Rasio kekakuan M5 – M1 | IV - 337 |
| Gambar 4.170 Perbandingan modal partisipasi massa M5 – M1 | IV - 338 |
| Gambar 4.171 Perbandingan periode M5 – M1 | IV - 339 |
| Gambar 4.172 Perbandingan gaya geser dinamik M5 – M1 | IV - 340 |
| Gambar 4.173 Perbandingan perpindahan lateral M5 – M1..... | IV - 341 |
| Gambar 4.174 Rasio perpindahan lateral M5 – M1 | IV - 343 |
| Gambar 4.175 Perbandingan simpangan antar lantai bangunan M5 – M1.IV - 344 | |
| Gambar 4.176 Rasio simpangan antar lantai bangunan M5 – M1 | IV - 346 |
| Gambar 4.177 Eksentrisitas bangunan M1 dan M5 | IV - 348 |
| Gambar 4.178 Perbandingan torsi arah X bangunan M5 – M1 | IV - 350 |
| Gambar 4.179 Perbandingan torsi arah Y bangunan M5 – M1 | IV - 351 |
| Gambar 4.180 Rasio trosi M5 – M1..... | IV - 352 |
| Gambar 4.181 Perbandingan Pengaruh P – Delta pada bangunan M5 – M1 akibat gempa Chi – Chi X..... | IV - 353 |
| Gambar 4.182 Perbandingan Pengaruh P – Delta pada bangunan M5 – M1 akibat gempa Chi – Chi Y..... | IV - 354 |
| Gambar 4.183 Rasio pengaruh P – Delta bangunan M5 - M1 | IV - 355 |
| Gambar 4.184 Perbandingan pengaruh ketidakberaturan torsi dan torsi berlebih akibat gempa Chi – Chi X pada bangunan M5 – M1 | IV - 356 |
| Gambar 4.185 Rasio ketidakberaturan torsi dan torsi berlebih M5 – M1IV - 358 | |
| Gambar 4.186 Perbandingan pengaruh ketidakberaturan torsi dan torsi berlebih akibat gempa Chi – Chi Y pada bangunan M5 – M1 | IV - 359 |
| Gambar 4.187 Rasio ketidakberaturan torsi dan torsi berlebih M5 – M1IV - 360 | |
| Gambar 4.188 Perbandingan massa bangunan M6 – M1 | IV - 362 |
| Gambar 4.189 Perbandingan kekakuan bangunan M6 – M1 | IV - 363 |
| Gambar 4.190 Rasio kekakuan M6 – M1 | IV - 364 |
| Gambar 4.191 Perbandingan modal partisipasi massa M6 – M1 | IV - 365 |
| Gambar 4.192 Perbandingan periode M6 – M1 | IV - 366 |
| Gambar 4.193 Perbandingan gaya geser dinamik M6 – M1 | IV - 367 |
| Gambar 4.194 Perbandingan perpindahan lateral M6 – M1..... | IV - 369 |
| Gambar 4.195 Rasio perpindahan lateral M6 – M1 | IV - 370 |

| | |
|--|----------|
| Gambar 4.196 Perbandingan simpangan antar lantai bangunan | |
| M6 – M1 | IV - 371 |
| Gambar 4.197 Rasio simpangan antar lantai bangunan M6 – M1 | IV - 373 |
| Gambar 4.198 Eksentrisitas bangunan M1 dan M2..... | IV - 375 |
| Gambar 4.199 Perbandingan torsi arah X bangunan M6 – M1 | IV - 376 |
| Gambar 4.200 Perbandingan torsi arah Y bangunan M6 – M1 | IV - 377 |
| Gambar 4.201 Rasio torsi M6 – M1..... | IV - 378 |
| Gambar 4.202 Perbandingan Pengaruh P – Delta pada bangunan | |
| M6 – M1 akibat gempa Chi – Chi X..... | IV - 380 |
| Gambar 4.203 Perbandingan Pengaruh P – Delta pada bangunan | |
| M6 – M1 akibat gempa Chi – Chi Y..... | IV - 381 |
| Gambar 4.204 Rasio pengaruh P – Delta bangunan M6 - M1 | IV - 382 |
| Gambar 4.205 Perbandingan pengaruh ketidakberaturan torsi dan torsi berlebih akibat gempa Chi – Chi X pada bangunan | |
| M6 – M1 | IV - 383 |
| Gambar 4.206 Rasio ketidakberaturan torsi dan torsi berlebih | |
| M6 – M1 | IV - 384 |
| Gambar 4.207 Perbandingan pengaruh ketidakberaturan torsi dan torsi berlebih akibat gempa Chi – Chi Y pada bangunan | |
| M6 – M1 | IV - 385 |
| Gambar 4.208 Rasio ketidakberaturan torsi dan torsi berlebih M6 – M1 | IV - 386 |
| Gambar 4.209 Rekapitulasi massa bangunan | IV - 388 |
| Gambar 4.210 Rasio massa terhadap M1 | IV - 389 |
| Gambar 4.211 Rekapitulasi kekakuan arah X..... | IV - 390 |
| Gambar 4.212 Rekapitulasi kekakuan arah Y | IV - 391 |
| Gambar 4.213 Rasio arah X kekakuan terhadap M1 | IV - 392 |
| Gambar 4.214 Rasio arah Y kekakuan terhadap M1 | IV - 394 |
| Gambar 4.215 Rekapitulasi modal partisipasi massa UX | IV - 395 |
| Gambar 4.216 Rekapitulasi modal partisipasi massa UY | IV - 396 |
| Gambar 4.217 Rekapitulasi periode arah X | IV - 397 |
| Gambar 4.218 Rekapitulasi periode arah Y | IV - 398 |
| Gambar 4.219 Gaya geser dasar akibat gempa Chi – Chi X..... | IV - 400 |
| Gambar 4.220 Gaya geser dasar akibat gempa Chi – Chi Y..... | IV - 401 |

| | |
|---|----------|
| Gambar 4.221 Perpindahan lateral akibat gempa Chi – Chi X pada arah X..... | IV - 403 |
| Gambar 4.222 Perpindahan lateral akibat gempa Chi – Chi X pada arah Y | IV - 405 |
| Gambar 4.223 Perpindahan lateral akibat gempa Chi – Chi Y pada arah X..... | IV - 406 |
| Gambar 4.224 Perpindahan lateral akibat gempa Chi – Chi Y pada arah Y | IV - 408 |
| Gambar 4.225 Rasio perpindahan lateral terhadap M1 akibat gempa Chi – Chi X pada arah X | IV - 409 |
| Gambar 4.226 Rasio perpindahan lateral terhadap M1 akibat gempa Chi – Chi X pada arah Y | IV - 410 |
| Gambar 4.227 Rasio perpindahan lateral terhadap M1 akibat gempa Chi – Chi Y pada arah X | IV - 412 |
| Gambar 4.228 Rasio perpindahan lateral terhadap M1 akibat gempa Chi – Chi Y pada arah Y | IV - 413 |
| Gambar 4.229 Simpangan antar lantai akibat gempa Chi – Chi X pada arah X | IV - 415 |
| Gambar 4.230 Simpangan antar lantai akibat gempa Chi – Chi X pada arah Y | IV - 416 |
| Gambar 4.231 Simpangan antar lantai akibat gempa Chi – Chi Y pada arah X | IV - 417 |
| Gambar 4.232 Simpangan antar lantai akibat gempa Chi – Chi Y pada arah Y | IV - 419 |
| Gambar 4.233 Rasio simpangan antar lantai terhadap M1 akibat gempa Chi – Chi X pada arah X | IV - 420 |
| Gambar 4.234 Rasio simpangan antar lantai terhadap M1 akibat gempa Chi – Chi X pada arah Y | IV - 421 |
| Gambar 4.235 Rasio simpangan antar lantai terhadap M1 akibat gempa Chi – Chi Y pada arah X | IV - 423 |
| Gambar 4.236 Rasio simpangan antar lantai terhadap M1 akibat gempa Chi – Chi Y pada arah Y | IV - 424 |
| Gambar 4.237 Rekapitulasi eksentrisitas | IV - 426 |
| Gambar 4.238 Torsi akibat gempa pada arah X | IV - 427 |

| | |
|--|----------|
| Gambar 4.239 Torsi akibat gempa pada arah Y | IV - 428 |
| Gambar 4.240 Rasio torsi terhadap M1 pada arah X | IV - 429 |
| Gambar 4.241 Rasio torsi terhadap M1 pada arah Y | IV - 431 |
| Gambar 4.242 Pengaruh P – Delta akibat gempa Chi – Chi X pada arah X..... | IV - 432 |
| Gambar 4.243 Pengaruh P – Delta akibat gempa Chi – Chi X pada arah Y | IV - 433 |
| Gambar 4.244 Pengaruh P – Delta akibat gempa Chi – Chi Y pada arah X..... | IV - 434 |
| Gambar 4.245 Pengaruh P – Delta akibat gempa Chi – Chi Y pada arah Y..... | IV - 435 |
| Gambar 4.246 Rasio pengaruh P – Delta terhadap M1 akibat gempa Chi – Chi X pada arah X | IV - 436 |
| Gambar 4.247 Rasio pengaruh P – Delta terhadap M1 akibat gempa Chi – Chi X pada arah Y | IV - 438 |
| Gambar 4.248 Rasio pengaruh P – Delta terhadap M1 akibat gempa Chi – Chi Y pada arah X | IV - 439 |
| Gambar 4.249 Rasio pengaruh P – Delta terhadap M1 akibat gempa Chi – Chi Y pada arah Y | IV - 440 |
| Gambar 4.250 Ketidakberaturan torsi dan torsi berlebih akibat gempa Chi – Chi X pada arah X | IV - 441 |
| Gambar 4.251 Ketidakberaturan torsi dan torsi berlebih akibat gempa Chi – Chi X pada arah Y | IV - 443 |
| Gambar 4.252 Ketidakberaturan torsi dan torsi berlebih akibat gempa Chi – Chi Y pada arah X | IV - 444 |
| Gambar 4.253 Ketidakberaturan torsi dan torsi berlebih akibat gempa Chi – Chi Y pada arah Y | IV - 446 |
| Gambar 4.254 Rasio ketidakberaturan torsi dan torsi berlebih terhadap M1 akibat gempa Chi – Chi X pada arah X | IV - 447 |
| Gambar 4.255 Rasio ketidakberaturan torsi dan torsi berlebih terhadap M1 akibat gempa Chi – Chi X pada arah Y | IV - 449 |
| Gambar 4.256 Rasio ketidakberaturan torsi dan torsi berlebih terhadap M1 akibat gempa Chi – Chi Y pada arah X | IV - 450 |

- Gambar 4.257 Rasio ketidakberaturan torsi dan torsi berlebih terhadap
M1 akibat gempa Chi – Chi Y pada arah YIV - 452
- Gambar 4.258 Hubungan luas shear wall dan parameter respon
bangunanIV - 461

PENGARUH TATA LETAK SHEAR WALL TERHADAP RESPON STRUKTUR BANGUNAN BERTINGKAT DENGAN TIPE KETIDAKBERATURAN SUDUT DALAM (*L SHAPE*) MENGGUNAKAN METODE ANALISIS RIWAYAT WAKTU (*TIME HISTORY ANALYSIS*)

Valerianus Eurico Bandu¹, Rani Hendrikus², Stephanus Ola Demon³

*Program Studi Teknik Sipil, Fakultas Teknik, Universitas Katolik Widya Mandira Kupang,
Jl. San Juan No. 1 Penfui, Kupang, NTT
E-mail : aaeuricho@gmail.com*

Abstrak

Respon struktur yang dihasilkan pada bangunan dengan ketidakberaturan sudut dalam (*L Shape*) akan cendrung menghasilkan konsentrasi tegangan dan deformasi lateral yang berlebih pada bangunan, selain itu dapat mengakibatkan bangunan mengalami ketidakberaturan torsi akibat pengaruh gempa. Penempatan *shear wall* pada bangunan dengan ketidakberaturan sudut dalam sendiri sangat berpengaruh terhadap respon struktur bangunan, sehingga tata letak *shear wall* yang baik perlu diketahui agar dapat meningkatkan kinerja bangunan akibat pengaruh gempa. Tujuan dilakukannya penelitian ini adalah untuk membandingkan respon bangunan yang terjadi akibat gempa pada bangunan tanpa *shear wall*, dan pada bangunan dengan variasi penempatan *shear wall*. Selain itu juga untuk mendapatkan model bangunan dengan pola penempatan *shear wall* yang ideal pada bangunan dengan ketidakberaturan sudut dalam. Permodelan struktur yang ditinjau meliputi 1 permodelan bangunan tanpa *shear wall* dan 5 permodelan bangunan dengan variasi tata letak *shear wall* yang berbeda. Penambahan *shear wall* mengakibatkan bangunan mengalami peningkatan kekakuan yang signifikan sehingga mengakibatkan perbedaan karakteristik respon dinamik bangunan akibat pengaruh gempa. Selain itu penempatan *shear wall* pada bangunan mengakibatkan bangunan dapat mereduksi pengaruh konsentrasi tegangan serta deformasi lateral berlebih dan juga ketidakberaturan torsi pada bangunan.

Kata Kunci : Konsentrasi Tegangan, Ketidakberaturan Sudut Dalam, Deformasi Lateral, Ketidakberaturan Torsi, Shear Wall.